# Recent results from DESI\*

(Status of the \(\Lambda\)CDM)



#### Сенсация!

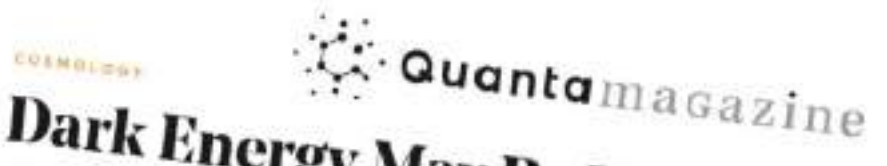
The New York Times

# A Tantalizing 'Hint' That Astronomers Got Dark Energy All Wrong

Scientists may have discovered a major flaw in their understanding of that mysterious cosmic force. That could be good news for the fate of the universe.



"L'énergie noire pourrait avoir évolué au fil du temps", selon Michael Levi, directeur de la collaboration DESI



### Dark Energy May Be Weakening, Major Astrophysics Study Finds



A generation of physicists has referred to the dark energy that permeates the universe as "the cosmological constant." Now the largest map of the cosmos to date hints that this mysterious energy has been changing over



DÉCRYPTAGE - La mesure de 6 millions de galaxies par un télescope d'un nouveau type dévoile une variation inattendue de l'accélération de l'expansion du cosmos depuis le big bang.

#### Уравнение Фридмана

(1) 
$$\left(\frac{\dot{a}}{a}\right)^2 = \frac{8\pi}{3}G\rho + \frac{1}{3}\Lambda - \frac{\kappa c^2}{a^2}$$

уравнение Фридмана (1)  $\left(\frac{\dot{a}}{a}\right)^2 = \frac{8\pi}{3}G\rho + \frac{1}{3}\Lambda - \frac{\varkappa c^2}{a^2}$  уравнение Фридмана (решение ОТО для изотропной и однородной Вселенной – Космологический принцип) Космологический принцип)

(2) 
$$\dot{\rho} + 3\frac{\dot{a}}{a}(\rho + p) = 0$$

локальное уравнение непрерывности

$$\varkappa = -1$$
 гиперболическая (открытая) Вселенная

$$arkappa = \mathbf{0}$$
 плоская (евклидова) Вселенная

$$\varkappa = +1$$
 сферическая (закрытая) Вселенная

$$ho$$
 — плотность вещества

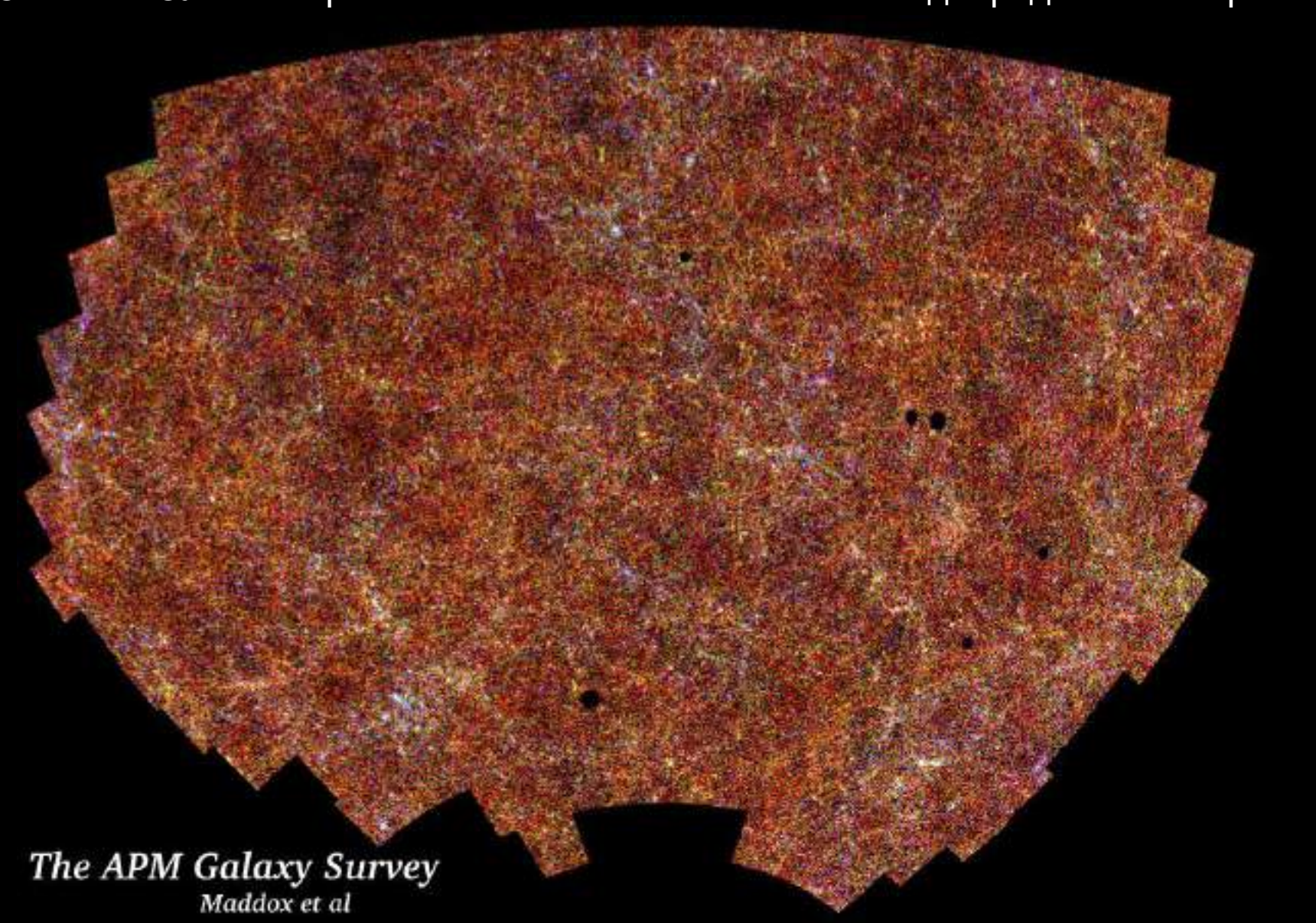
$$a(t)$$
 – масштабный фактор

$$H \equiv \frac{\dot{a}}{a}$$
 — параметр Хаббла ( $\dot{a} \equiv \frac{da}{dt}$ );

Для решения полученных уравнений необходимо добавить уравнение состояния вещества (связы между плотностью энергии ho и давлением ho).

#### Космологический принцип

На ОЧЕНЬ БОЛЬШИХ расстояниях Вселенная является однородной и изотропной.



#### Красное смещение

Для фотонов ds = 0, тогда можно показать, что:

$$z \equiv rac{\lambda_{
m per} - \lambda_{
m ucn}}{\lambda_{
m ucn}} = rac{a(t_0)\lambda - a(t)\lambda}{a(t)\lambda} = rac{a(t_0)}{a(t)} - 1$$

То есть космологическое покраснение фотонов отражает изменение масштабного фактора со временем:

$$\frac{a_0}{a}=1+z$$

Таким образом, в отличие от эффекта Доплера, фотон «чувствует» расширение Вселенной в процессе распространения, что сказывается на его физической длине волны.

#### Эволюция средней плотности

**1)** Нерелятивистская материя:  $oldsymbol{\omega} = oldsymbol{0}$ ,  $oldsymbol{p} = oldsymbol{0}$ 

$$\dot{\rho} + 3\frac{\dot{a}}{a}\rho = 0$$

$$\dot{\rho} + 3\frac{\dot{a}}{a}\rho = 0$$
  $\rho_m = \rho_{m,0} \left(\frac{a_0}{a}\right)^3 = \rho_{m,0} (1+z)^3$ 

$$\dot{\rho} + 3\frac{\dot{a}}{a}(\rho + p) = 0$$

**2)** Релятивистская материя (фотоны):  $\omega = 1/3$ ,  $p = \rho/3$ 

$$\dot{\rho} + 4\frac{\dot{a}}{a}\rho = 0$$

$$\dot{\rho} + 4\frac{\dot{a}}{a}\rho = 0$$
  $\rho_r = \rho_{r,0}\left(\frac{a_0}{a}\right)^4 = \rho_{r,0}(1+z)^4$ 

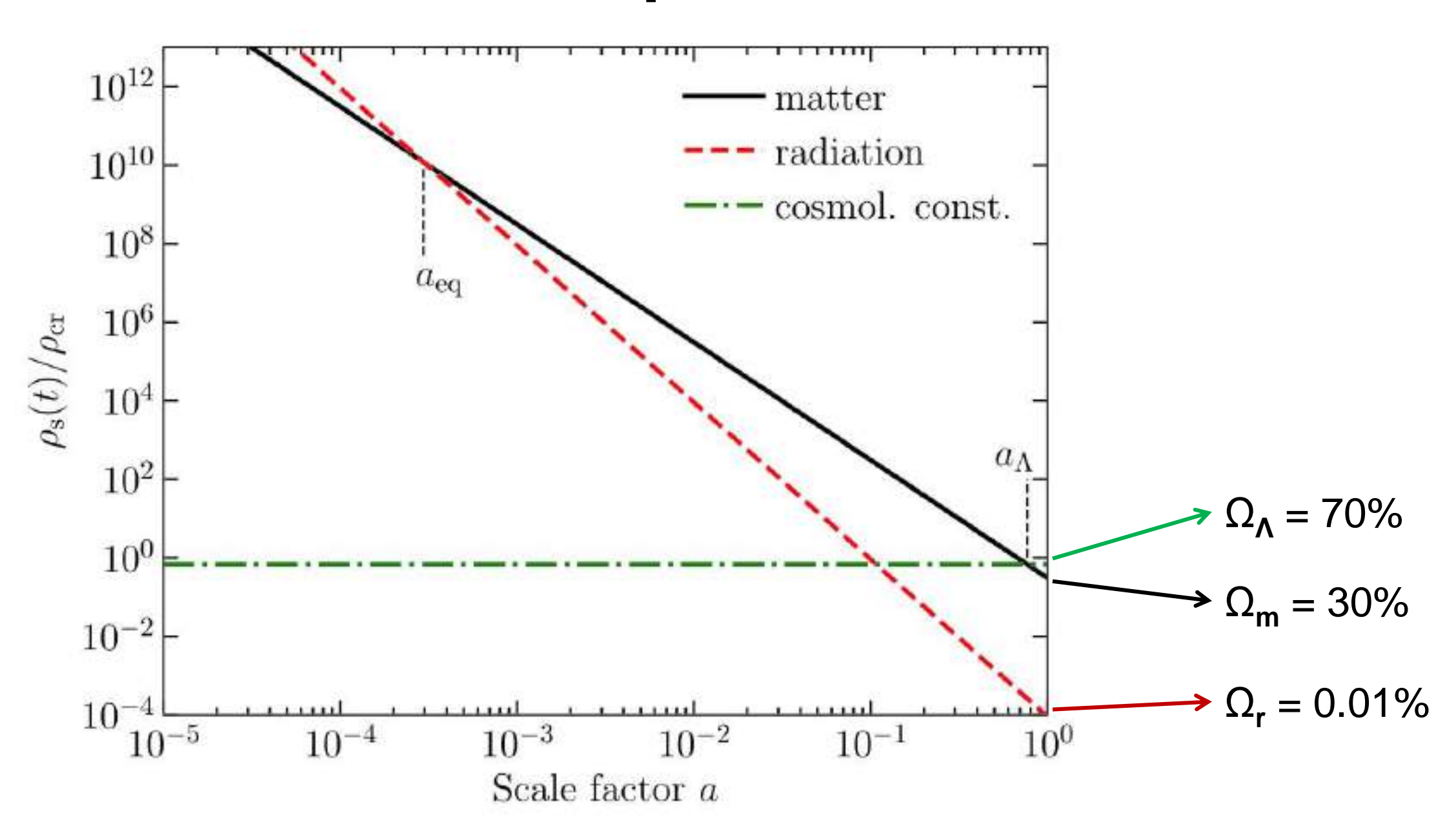
**3)** Темная энергия:  $\omega = -1$ , p = ho

$$\dot{\boldsymbol{\rho}} = 0$$

$$\rho_{\Lambda} = const$$

Зависимость от масштабного фактора у разных вкладов существенно различается. То есть на различных этапах эволюции (эпохах) разные вклады в энергию являются доминирующими и определяют характер расширения Вселенной!

#### Эволюция средней плотности



#### Уравнение Фридмана

$$\left[H^2 - \frac{8\pi}{3}G(\rho_m + \rho_r + \rho_{\Lambda})\right]\alpha^2 = -\kappa c^2$$

Введем критическое значение плотности, при которой левая часть уравнения равна нулю:

$$ho_c \equiv rac{3}{8\pi G} H^2$$
 — критическая плотность энергии Вселенной —  $ho_{c,0} \equiv rac{3}{8\pi G} {H_0}^2 \simeq rac{5.7 m_{
m np}}{{
m M}^3}$ 

Вклады различных компонент в полную плотность будем измерять в долях от критической плотности, то есть:

$$\Omega_{\rm j} = rac{
ho_{
m j}}{
ho_{
m c}} \qquad \qquad \sum_{
m j} \Omega_{
m j} = \Omega$$

тогда:

$$H^{2}[1-(\Omega_{m}+\Omega_{r}+\Omega_{\Lambda})]a^{2}=-\varkappa c^{2}$$

#### Эволюция параметра Хаббла

$$H(z) = H_0 \left[ \Omega_{r,0} \left( \frac{1}{a} \right)^4 + \Omega_{m,0} \left( \frac{1}{a} \right)^3 + \Omega_{\Lambda} + (1 - \Omega_0) \left( \frac{1}{a} \right)^2 \right]^{1/2}$$

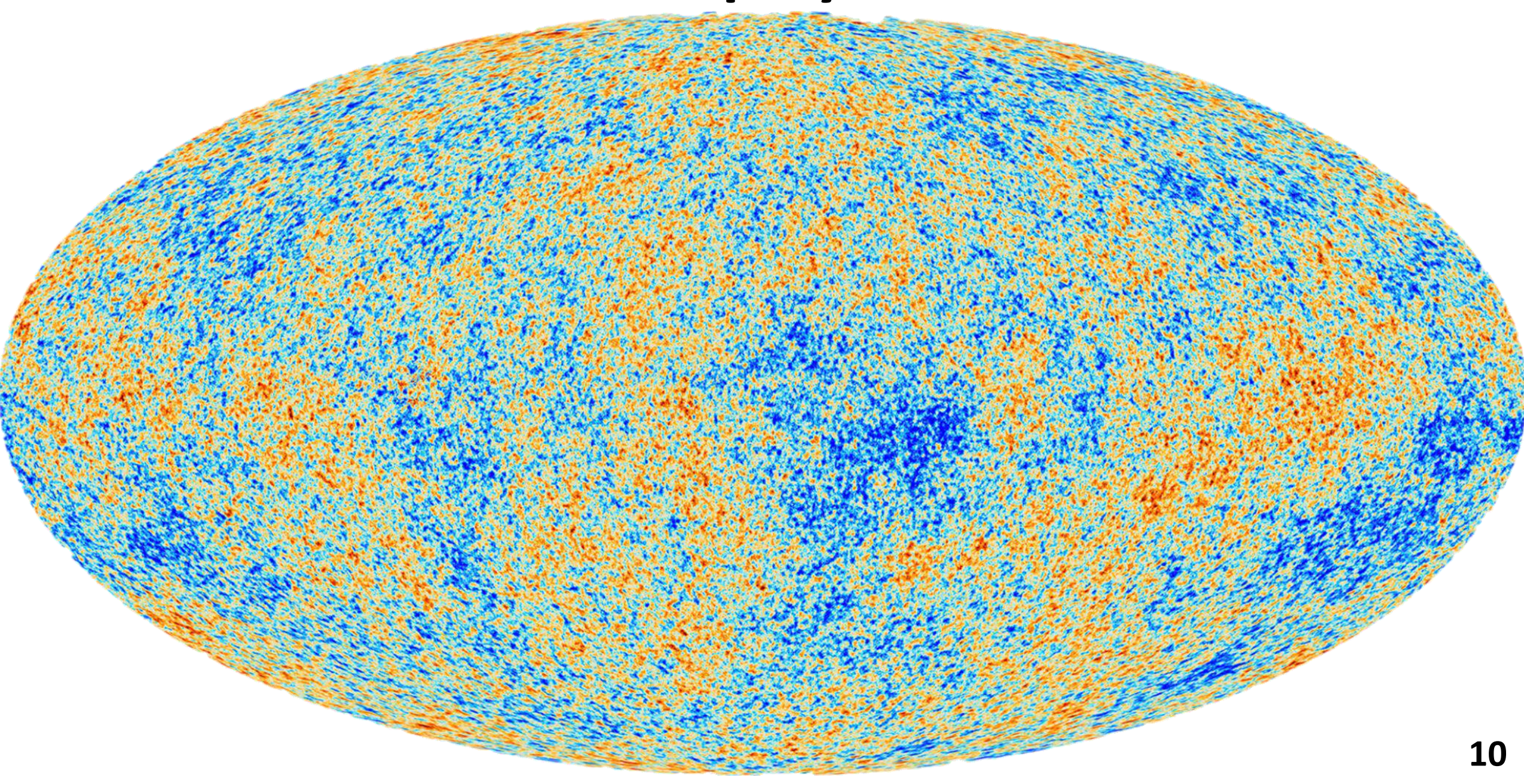
Величину  $(1-\Omega_0)$  часто обозначают  $\Omega_{\varkappa}$  — вклад кривизны пространства в плотность энергии. Как мы увидим, современные наблюдательные данные с высокой точностью согласуются с  $\Omega_0 = 1$ . В дальнейшем для простоты будем считать  $\varkappa = 0$  и  $\Omega_{\varkappa} = 0$  (плоская Вселенная).

$$H(z) = H_0 \left[ \Omega_{r,0} \left( \frac{1}{a} \right)^4 + \Omega_{m,0} \left( \frac{1}{a} \right)^3 + \Omega_{\Lambda} \right]^{1/2} \qquad H_0 = h \times \left( 100 \frac{M}{\text{c} \cdot \text{Mik}} \right)$$

$$H_0 = h \times \left(100 \frac{M}{C \cdot M\Pi K}\right)$$

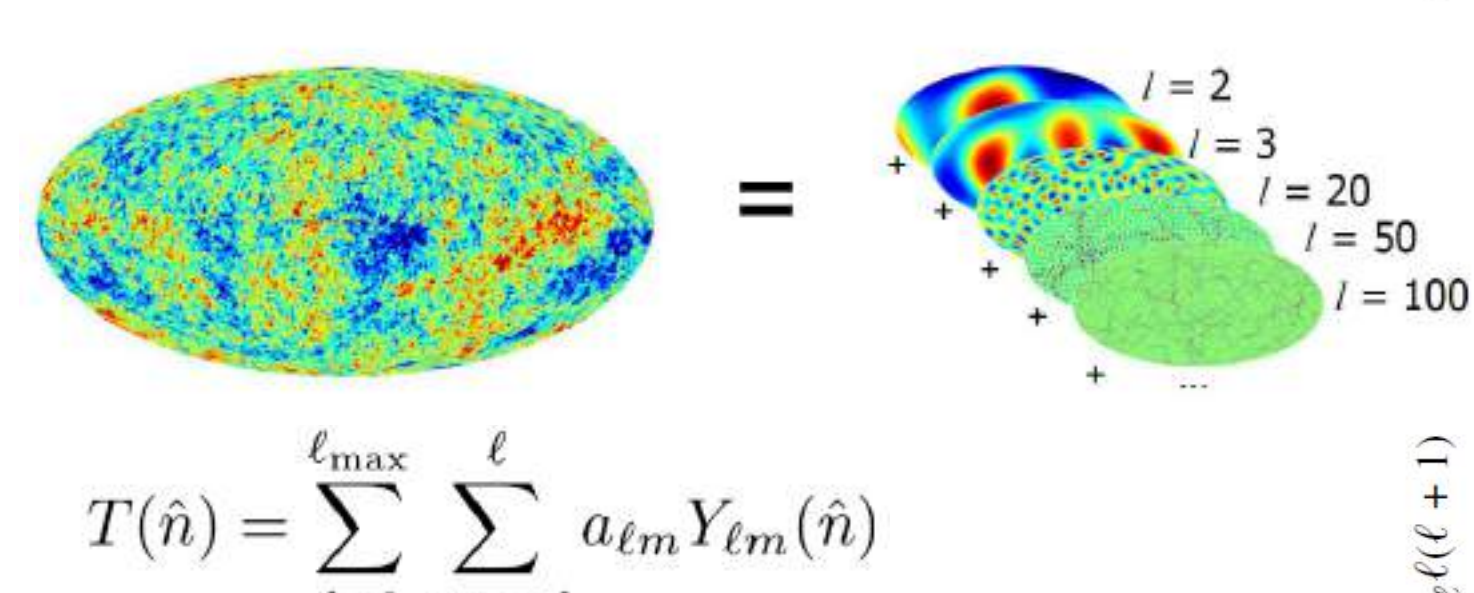
$$H(z) = 100 \left[ h^2 \Omega_{\mathrm{r,0}} \left( \frac{1}{a} \right)^4 + h^2 \Omega_{\mathrm{m,0}} \left( \frac{1}{a} \right)^3 + h^2 \Omega_{\Lambda} \right]^{1/2}$$

# **CMB Map by Planck**

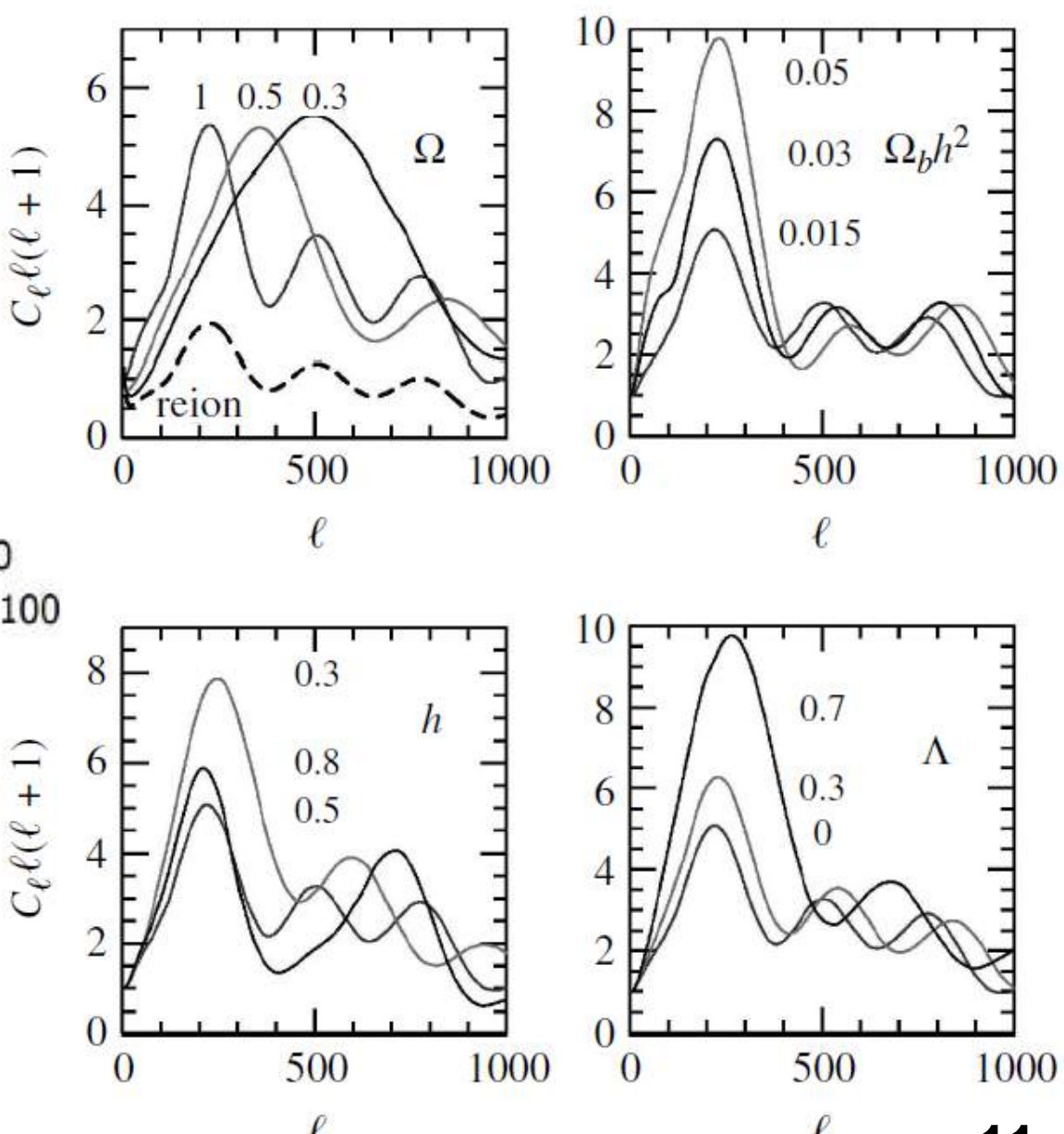


#### СМВ: спектр неоднородностей

Распределение флюктуаций температуры СМВ содержит огромный объем информации о структуре Вселенной на момент рекомбинации  $\sim$ 380 тыс. лет после Большого Взрыва ( $z\simeq1090$ ).

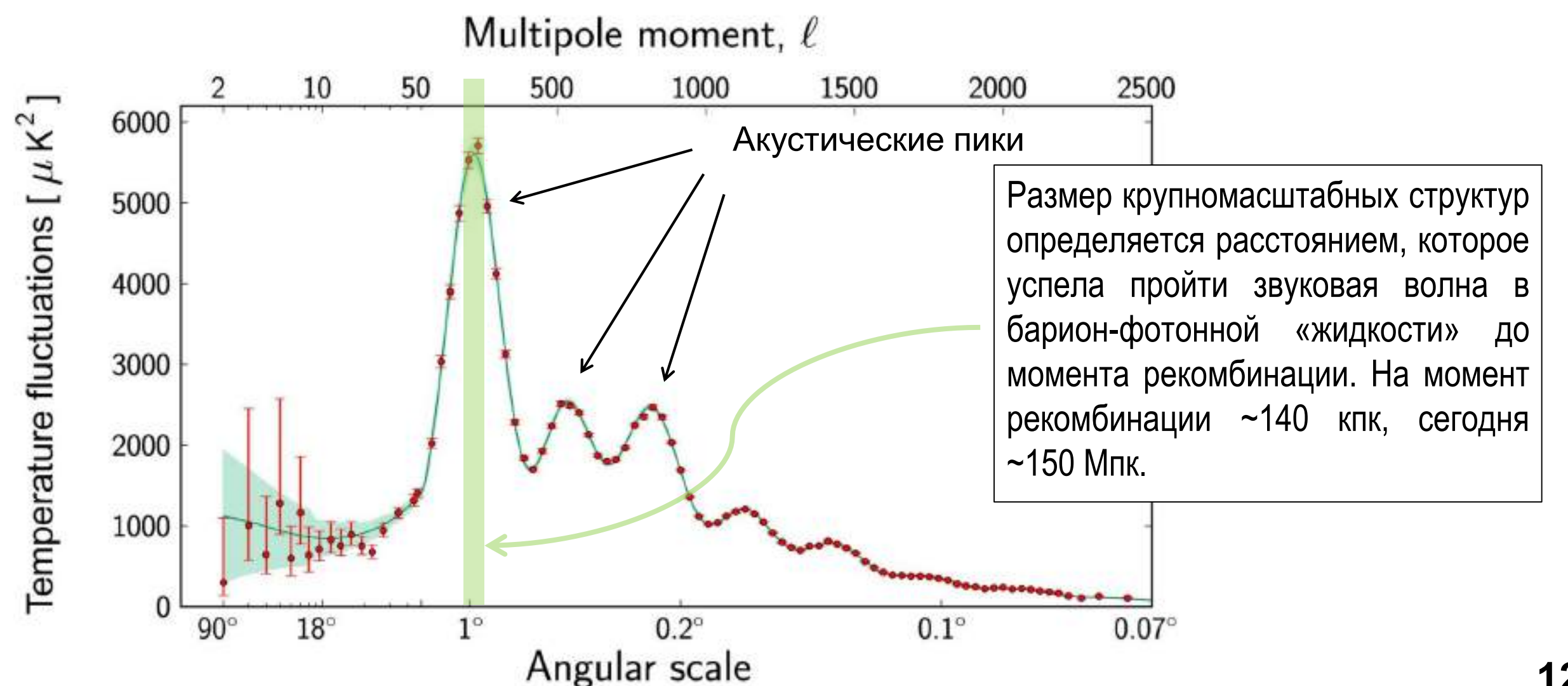


$$C_{\ell} = \frac{1}{2\ell + 1} \sum_{m=-\ell}^{\ell} |a_{\ell m}|^2$$



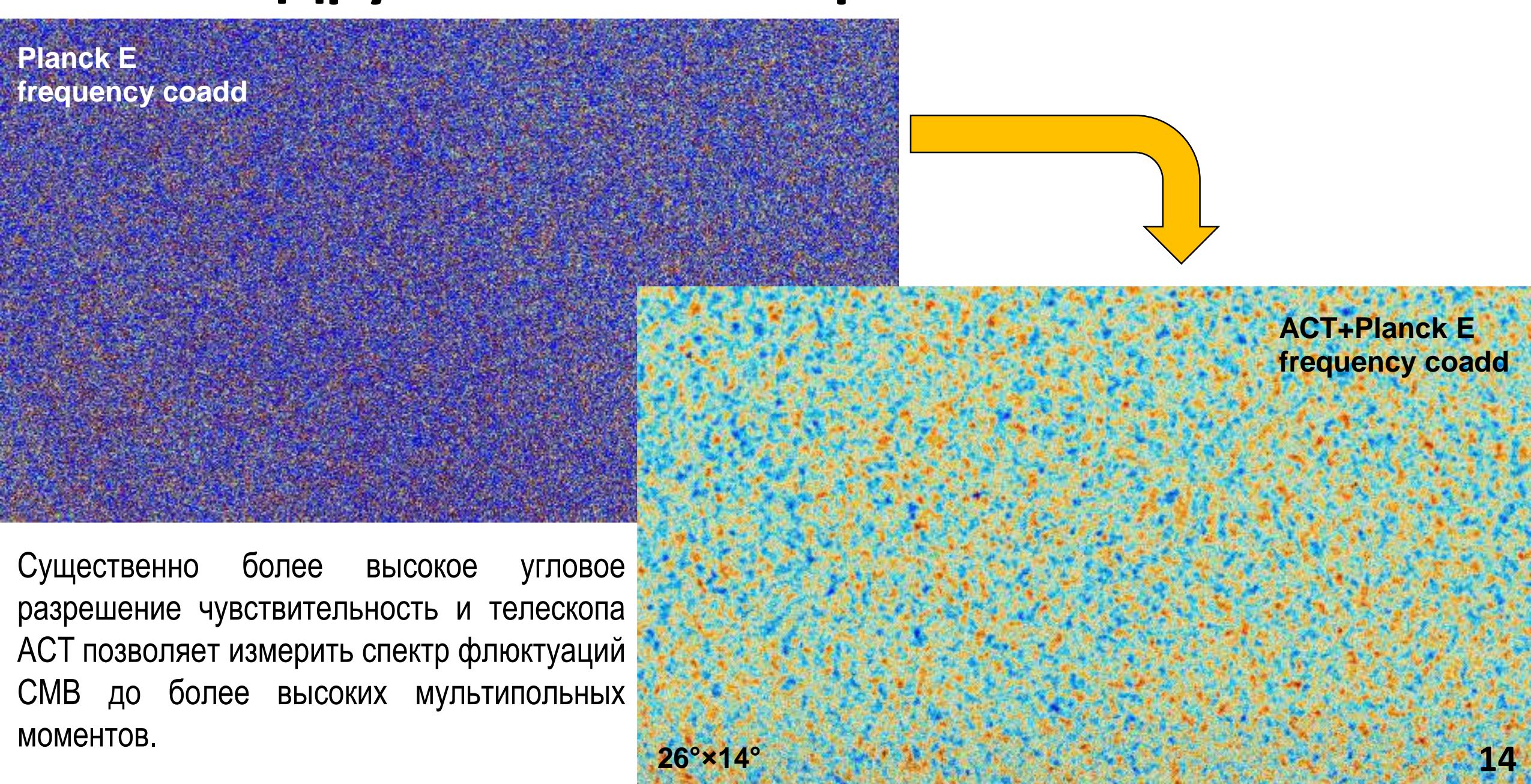
#### СМВ: спектр неоднородностей

Распределение флюктуаций температуры СМВ содержит огромный объем информации о структуре Вселенной на момент рекомбинации ~380 тыс. лет после Большого Взрыва ( $z \simeq 1090$ ).

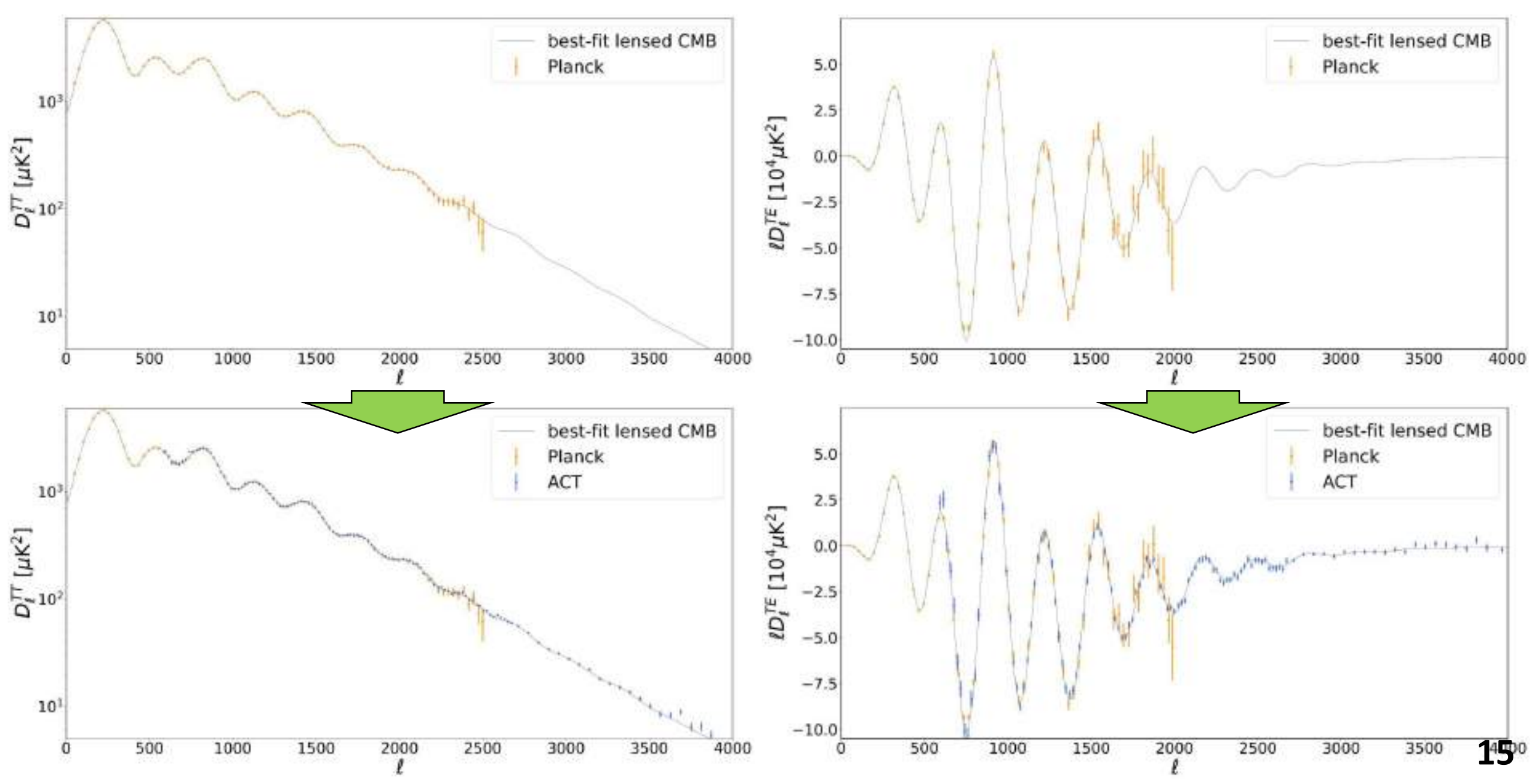




#### Другие СМВ эксперименты: АСТ



#### Другие СМВ эксперименты: АСТ



arXiv:1807.06209

#### Vanilla ACDM

Parameter	Combined
$\Omega_{\rm b}h^2$	$0.02233 \pm 0.00015$
$\Omega_{\rm c}h^2$	$0.1198 \pm 0.0012$
$100\theta_{MC}$	$1.04089 \pm 0.00031$
au	$0.0540 \pm 0.0074$
$\ln(10^{10}A_{\rm s}) \ldots \ldots$	$3.043 \pm 0.014$
$n_{\rm s}$	$0.9652 \pm 0.0042$
$\Omega_{\rm m}h^2$	$0.1428 \pm 0.0011$
$H_0$ [ km s <sup>-1</sup> Mpc <sup>-1</sup> ]	$67.37 \pm 0.54$
$\Omega_{\mathrm{m}}$	$0.3147 \pm 0.0074$
Age [Gyr]	$13.801 \pm 0.024$
$\sigma_8 \dots \dots$	$0.8101 \pm 0.0061$
$S_8 \equiv \sigma_8 (\Omega_{\rm m}/0.3)^{0.5}$	$0.830 \pm 0.013$
Z <sub>re</sub>	$7.64 \pm 0.74$
$100\theta_*$	$1.04108 \pm 0.00031$
$r_{\text{drag}}$ [Mpc]	$147.18 \pm 0.29$

 $\Lambda$ CDM с высокой точностью описывает ВСЕ результаты СМВ (ранняя Вселенная  $z\simeq 1090$  ). Используя эти параметры как «начальные», можно рассчитать всю дальнейшую эволюцию Вселенной и сравнить с **НЕЗАВИСИМЫМИ** измерениями для «поздней» Вселенной (малые значения  $z\lesssim 2$ ).

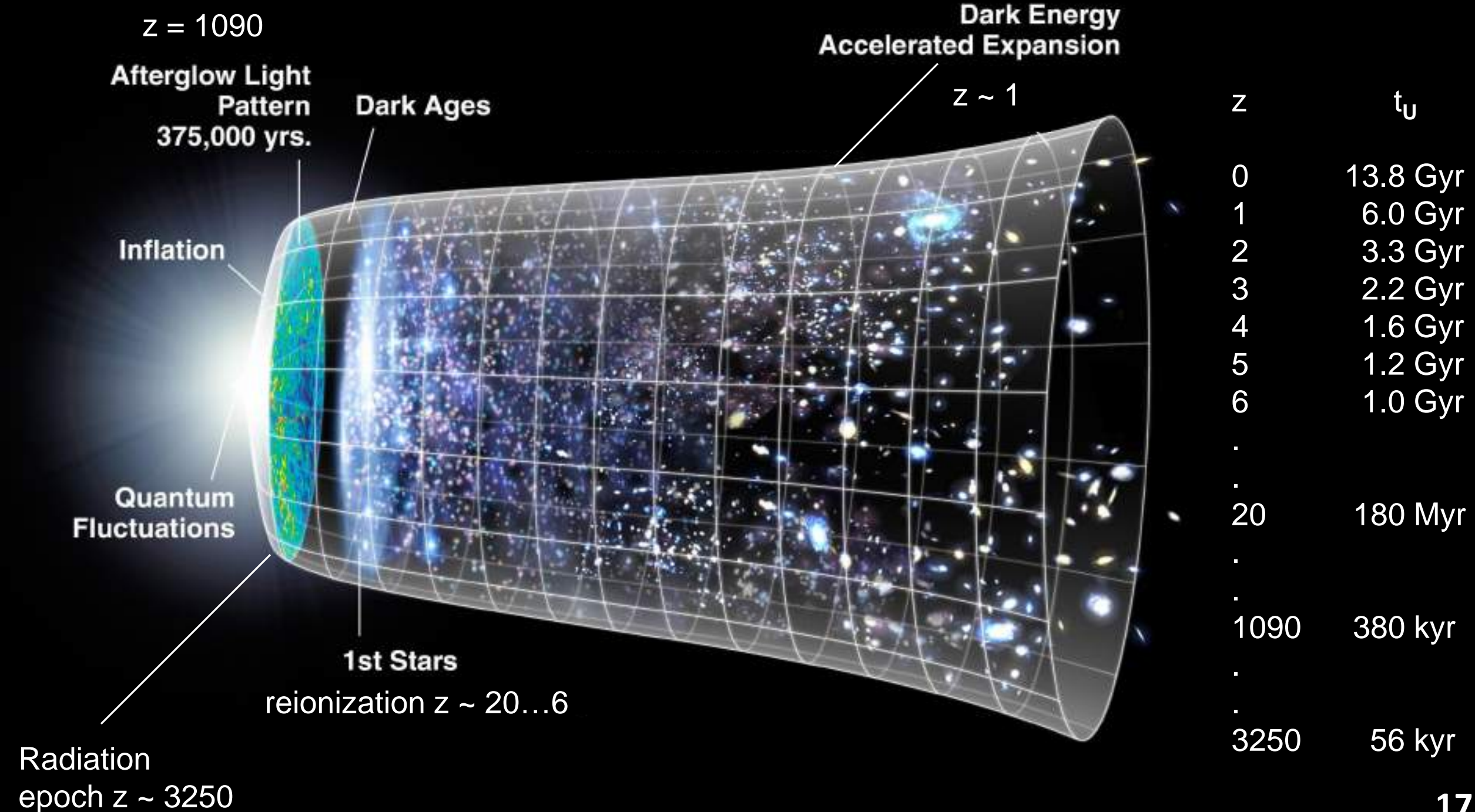


Параметр Хаббла



Кластеризация скоплений галактик

\_\_\_\_\_ Главный пик в CMB



#### Какое расстояние измеряется?

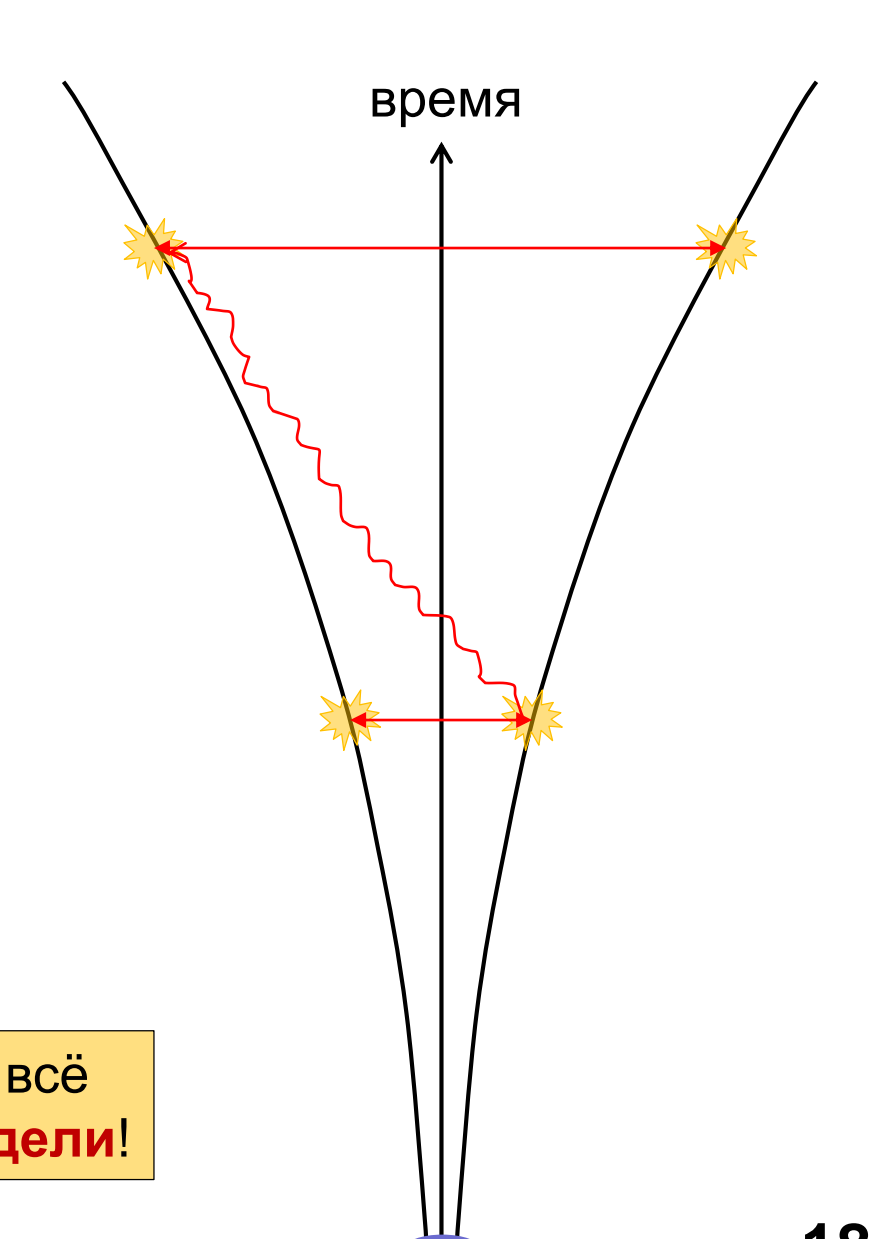
**Расстояние** между объектом и наблюдателем в момент испускания фотона объектом?

**Расстояние** (**Время**), пройденное фотоном от момента испускания до приема?

**Расстояние** между объектом и наблюдателем в момент приема фотона объектом?

Ни одно из этих расстояний НЕ может быть измерено непосредственно!

Измеряемой величиной является только красное смещение, всё остальное пересчитывается на основе космологической модели!

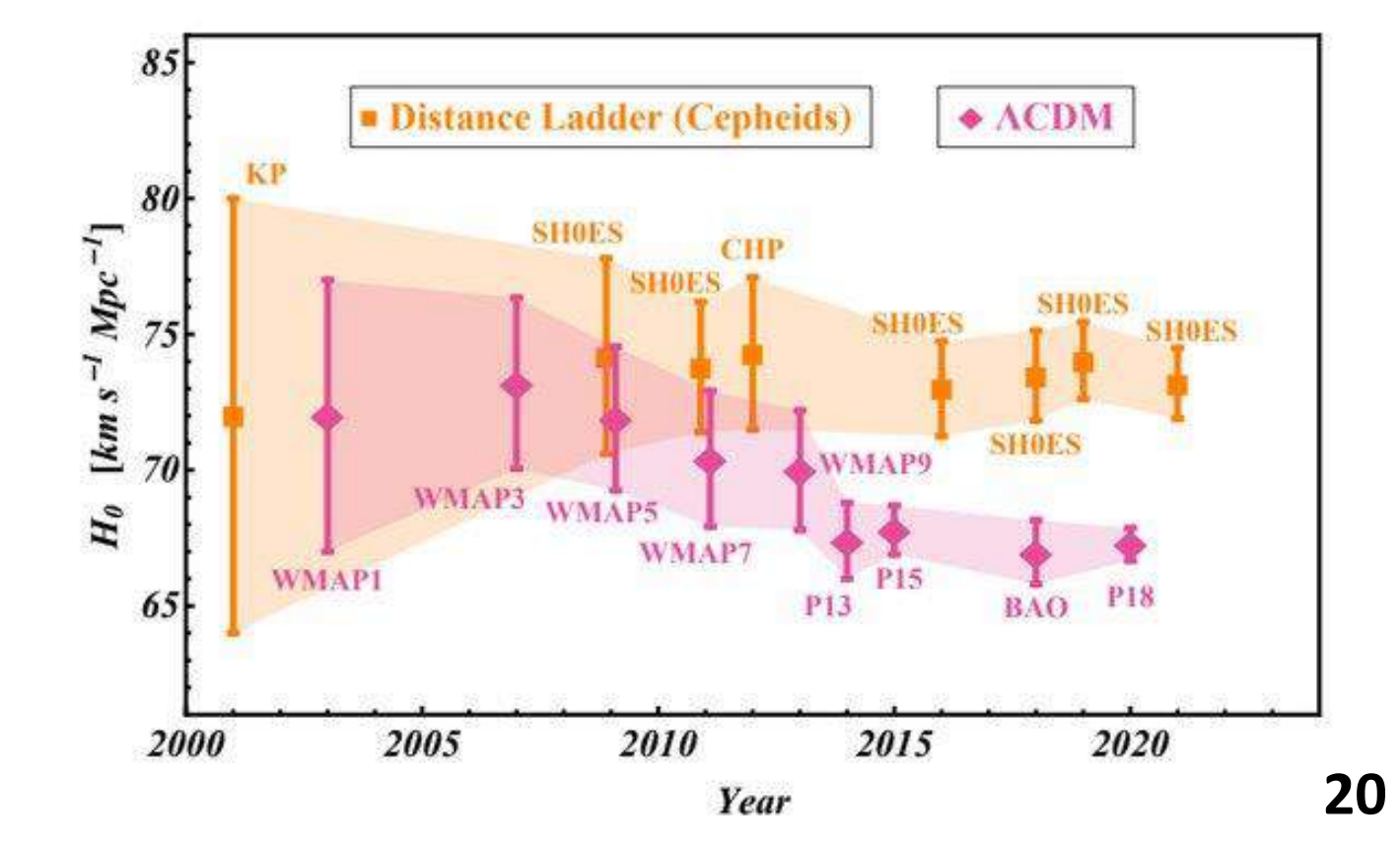


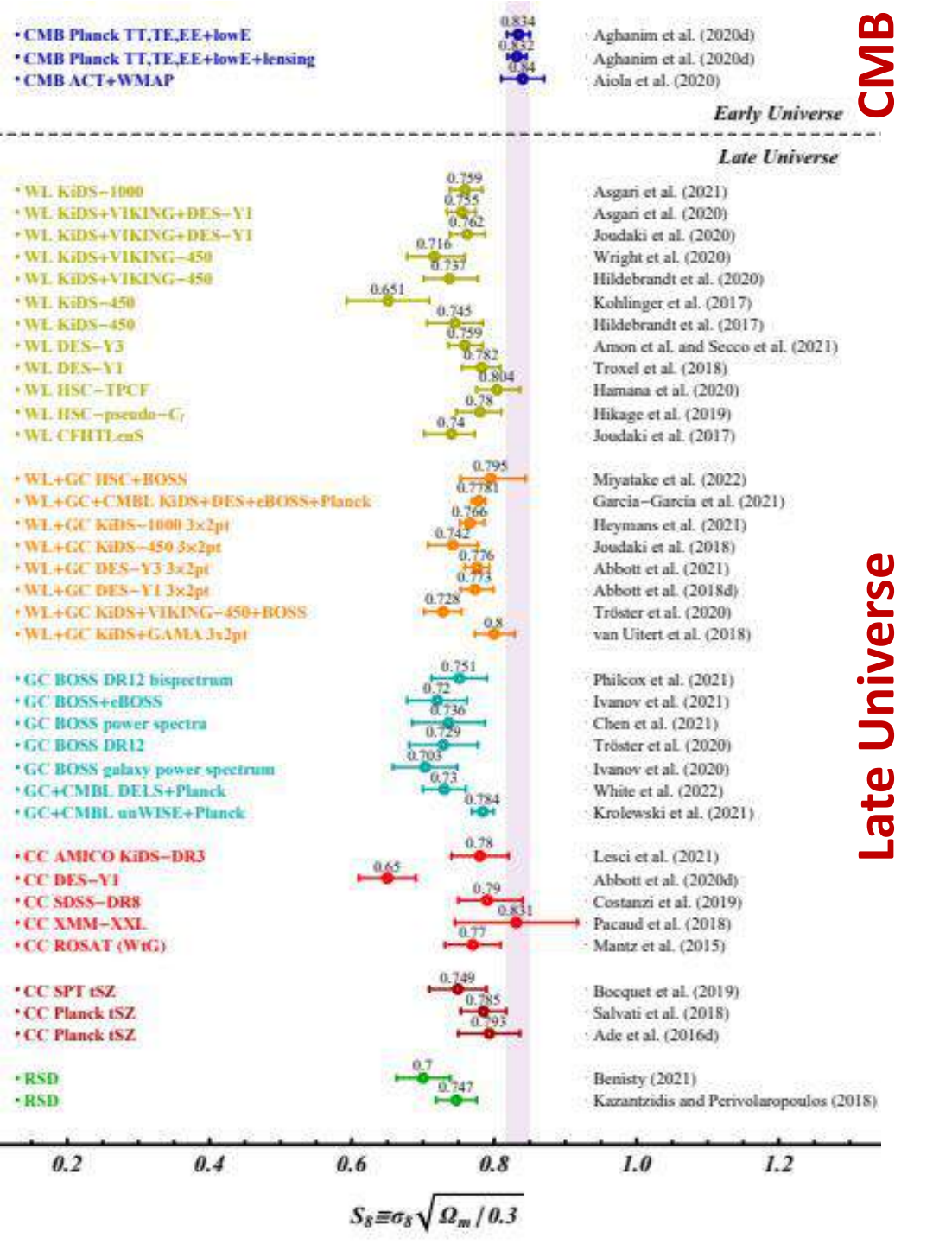


#### Colorated year, 1980 C. Planck Street, P. LACT 197-19-19 Propriet of 16, 01010, v8055 x Plants (strict 104.5 ) 1 agherin e al 10000; Plant 900 1000 a link Agrania et el 2005. Plant III e 4500 branq el 20 e e 6 de et el 2004. Plant 201, (10 - 6727 a 410 Thereigned of CHITCH SITE on high $H_\delta \left[ km \ s^{-l} \ Mpc^{-l} \right]$ Astropal (SER) ACT 1778-17 WASHINGTON WHILP ACT WALLS Dissip, Bullet DR. N. WHALPS HALF OR N. T. S. Minimize a st. UN FC, SPT 176, 5 + 2 Rindson in 1985; Windle Pales 2.5 No CMB, with 888 They as it, (001), \$000 constants burner-Bally \$100; \$8.0 to \$1 Over a 6-0001, hybothelile; pr.25-a.7 Holosoft & CROS, Publishering - Balls - MIN - M. J. C. E. E. Of discount of all of COOK, BORN CHILD'S BORN AND Y. College of (ECSC); BOSS DR. (1-Bose OR.7 + 1) Season of GROOK BOOKS BARD STATE II About of CROSS, MORN-WINSH-BERG AT THE REST CMB leading Bindred at \$1000 707 a 2 Brief of all (2008, Fig.) +CSW (comp.) To "E) 1.55 to standard rely Peach and the section Indirect Direct Worker & Chiefe, NO. 77, Adv. Co. Connected, Wigner EPICES, TACKET, S. 40 Book of \$100 12 12 12 None of (2009) \$16.7635 a.1.5 Companya Marin 2007 to 1914 a 11. Bloom part (BROWN TERM + N. Jesus et al. (1982); 70,8 v. 3. most help, Kall Rick Time (2001) 75 J J 1 SHOWING COLUMN TAX Kim Keny, Inc. Sup DiST: 46.5 c. 4.2 Sortic Countries, Wines (MOStr 70.1 à 2) Ladder Frontier of of 1900s N.F.s. 1.7 Roll: Poor, Principles L. SHES: N. J. & L. H. Year or or planty 704 or 2.6 8Nts-Miros House of all \$1000 Old A 61 National or A. (\$400): 40-480; e-1007; 711 v.21 Ribbins and chieff of Life DBB 76.1 y 4. Constant of CMR 75 Av. 73 6 (10) 6 (200) 1142 (2 delings and them confli-Distance Property (FIRST TOTAL TR Source or at 1980s Non 2.5 Schoolma McGugh, Cath (1980) 71 | + 1.8 HITE galaxy. Statement of State State You him (\$17) 16:1755 Leaving related pass would depend on Develope DEED TOTAL Bear of all (2020), \$290,005450, \$4,0 Many of the LEGIS, TROUGHOUSE, ACS, of 42 You, New Building Hards & Miller of LOUIS, TOX USERS THE A \$6 m.d. (2020) 75 m Ger Aut (\$150) THE decid pt. (2007); 70. THER R. P. LEWIS L. LEWIS CO., LANSING, Vol. 19, Warg or 6 (2001); (MIL 2009) 2009 (3.32) Webbook and SMED CHICAGO LIGHT AND AND ARREST CHEST AND A SEC. February et al. (2004), (1917) 1917 - 131 Injudicional, CNCH, EDITHOCO-VCM17811. Makesan as DION, 100 FBH Froder (Ch.) Makagement of Children (1987) (VERN-GET) Sheekanda wat 750 km 1007 Montan of all (2012), the ICEM with pricembles 49,7 o (1) Measure of all CRCC, ago, of 3th inclusive and all \$1.000 70 75

#### **Hubble Tension**

С повышением точности измерений нарастает напряженность в значении (при z=0) параметра Хаббла  $H_0$ , полученным по СМВ, и по «локальным» измерениям (классическая «лестница расстояний»: цефеиды + SN Ia).



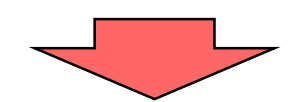


#### S<sub>8</sub> Tension

Параметр S<sub>8</sub> характеризует дисперсию флюктуаций плотности материи (барионной+темной) на характерном масштабе 8 Мпк.

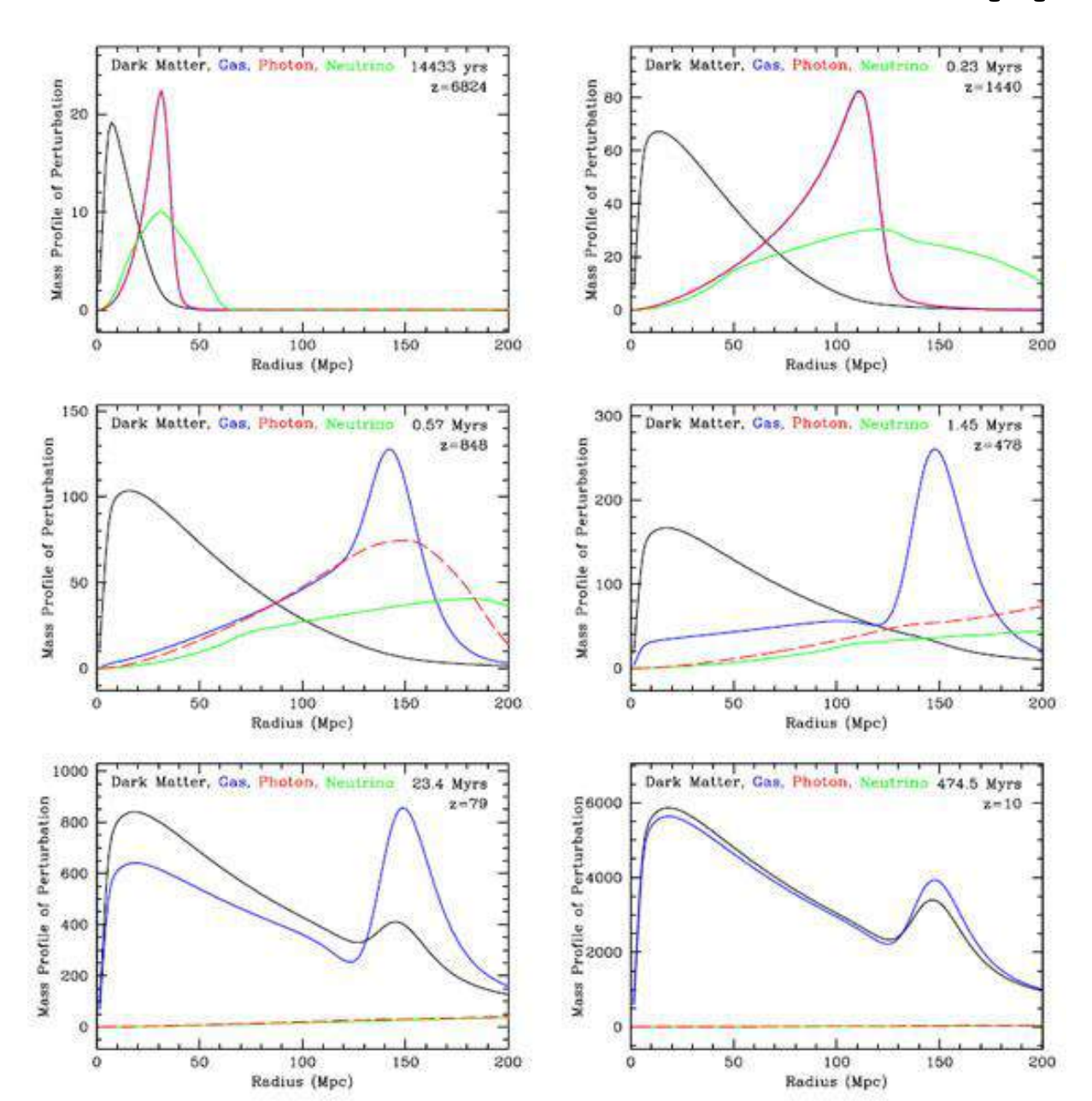
Значение  $S_8$ , определенное из спектра СМВ (ранняя Вселенная) и пересчитанное согласно  $\Lambda$ CDM на сегодня, систематически отличается от значения, полученного по измерениям распределения вещества в поздней Вселенной (малые значения z).

В комбинации с напряженностью Хаббла, эти нестыковки рассматриваются как результат возможной неполноты стандартной (минимальной) ЛСDM.





#### ВАО как стандартная линейка

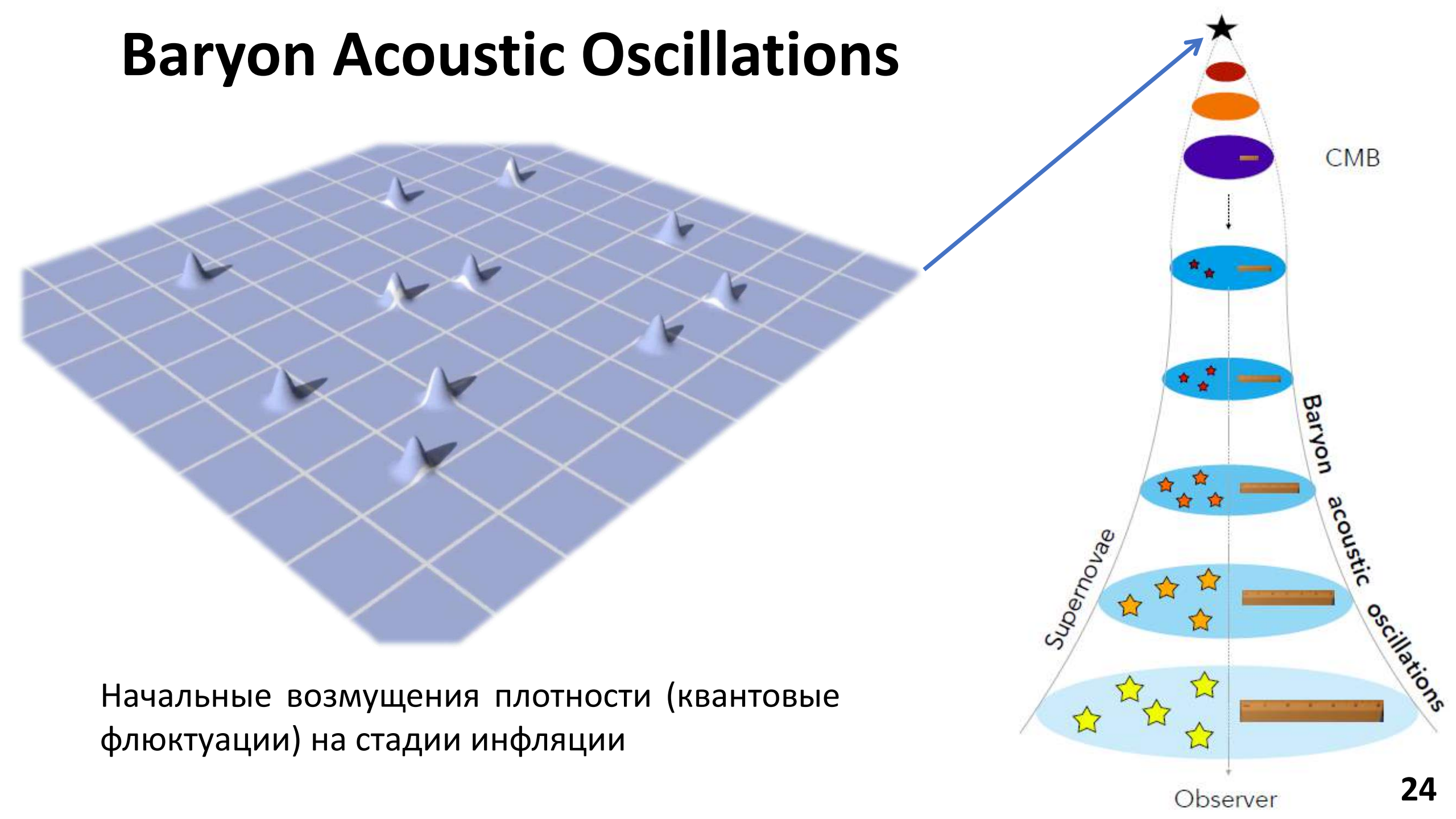


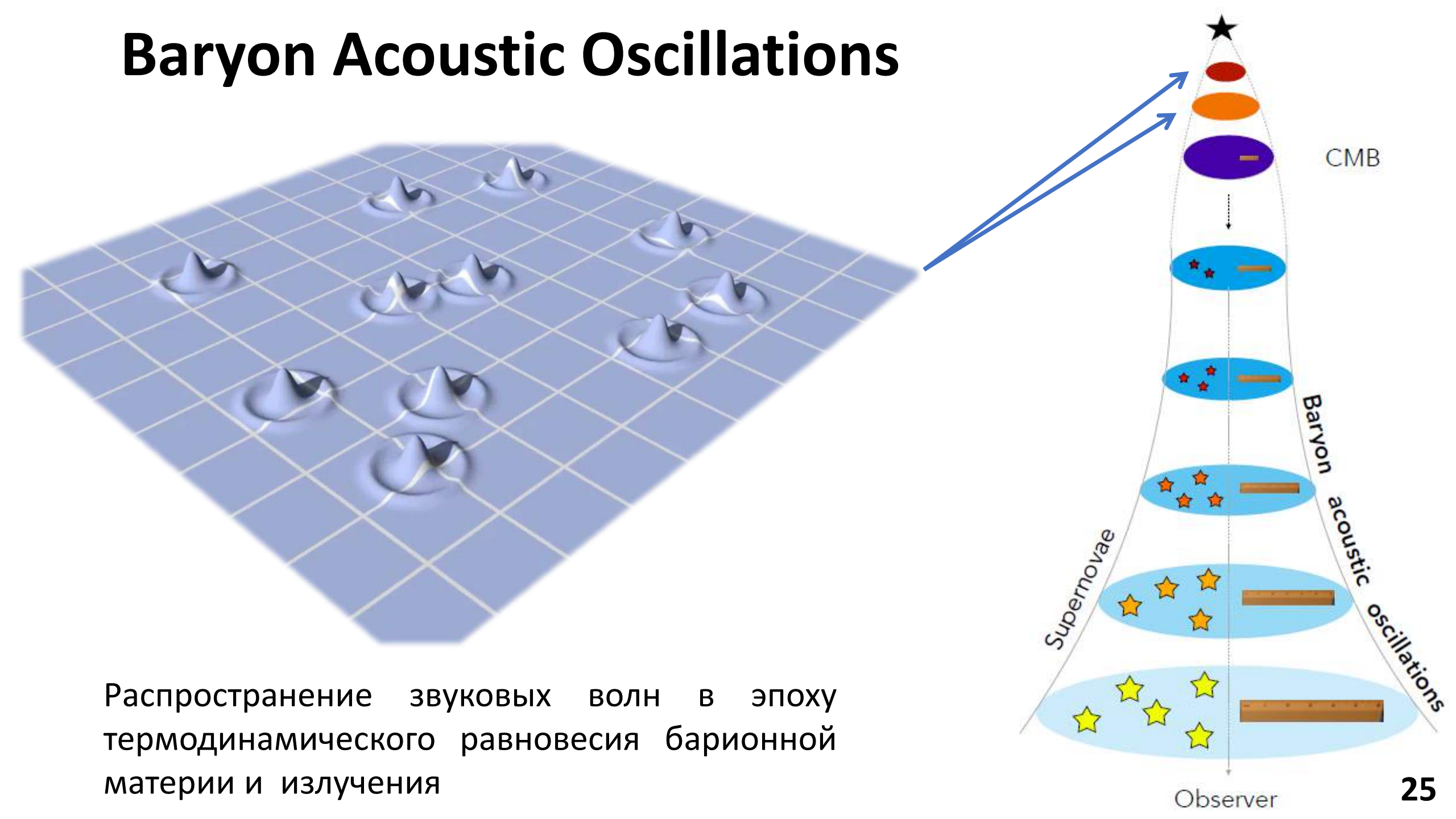
Дальнейшая эволюция ЭМ и барионной компоненты происходила независимо и достаточно точно просчитывается согласно стандартной космологической модели ACDM.

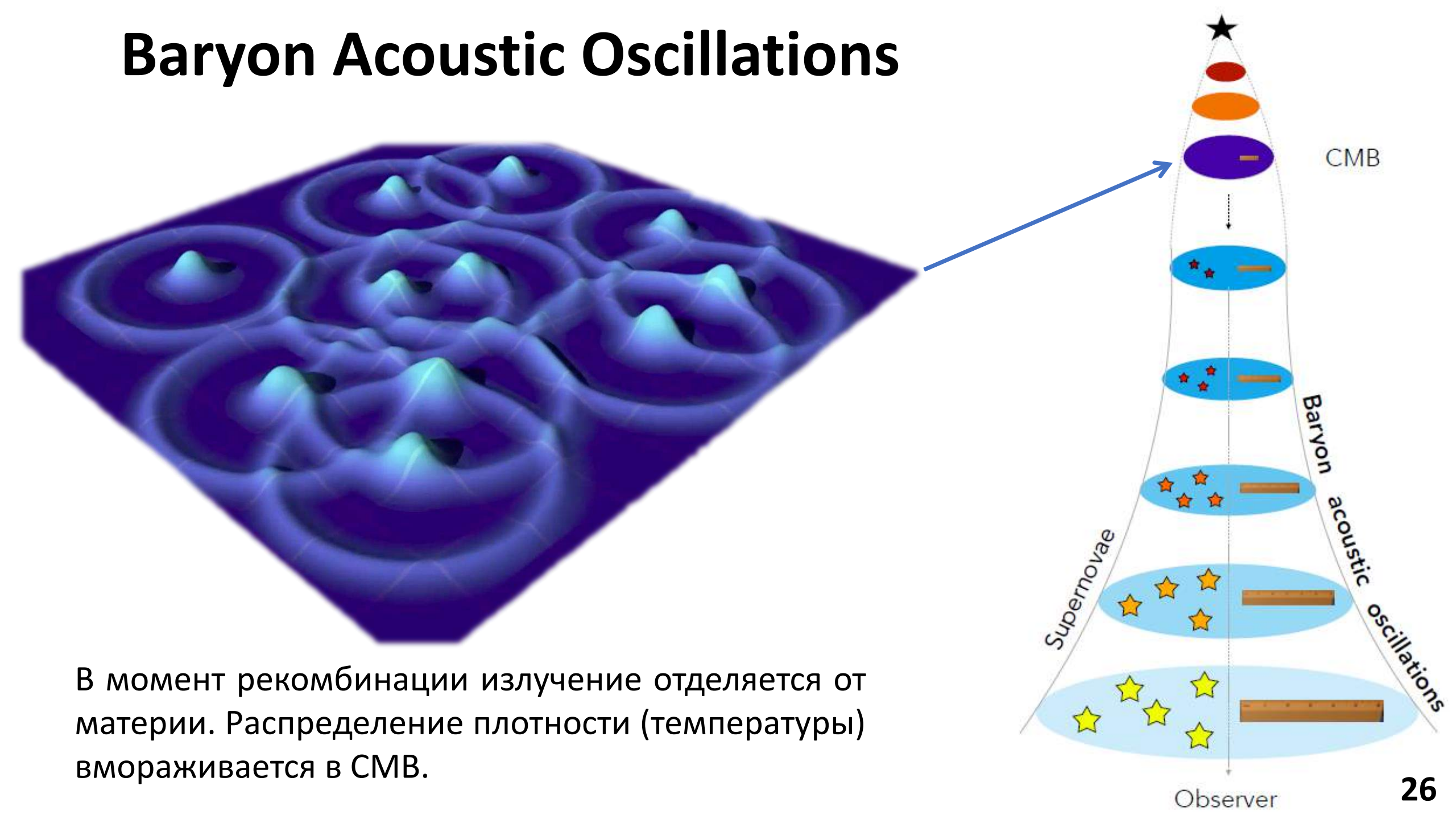
На масштабах >> стандартного отрезка (современное значение ~150 Мпк ≈ 500 св. М лет.) Вселенная должна быть однородна и изотропна – космологический принцип.

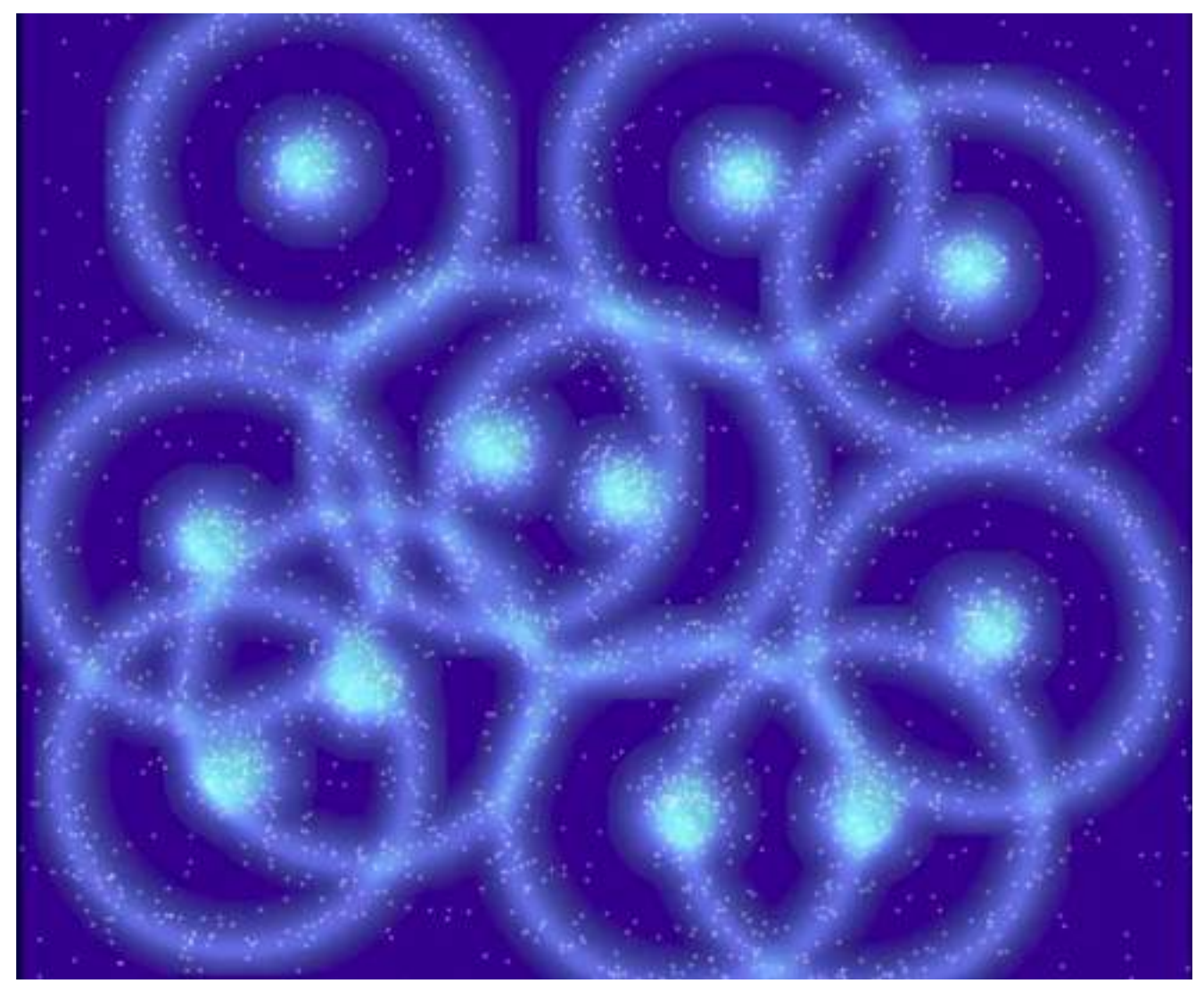
Этот характеристический масштаб должен сохраняться на всех этапах эволюции Вселенной (независимо от z) если измеряется в сопутствующей системе.

**2**3

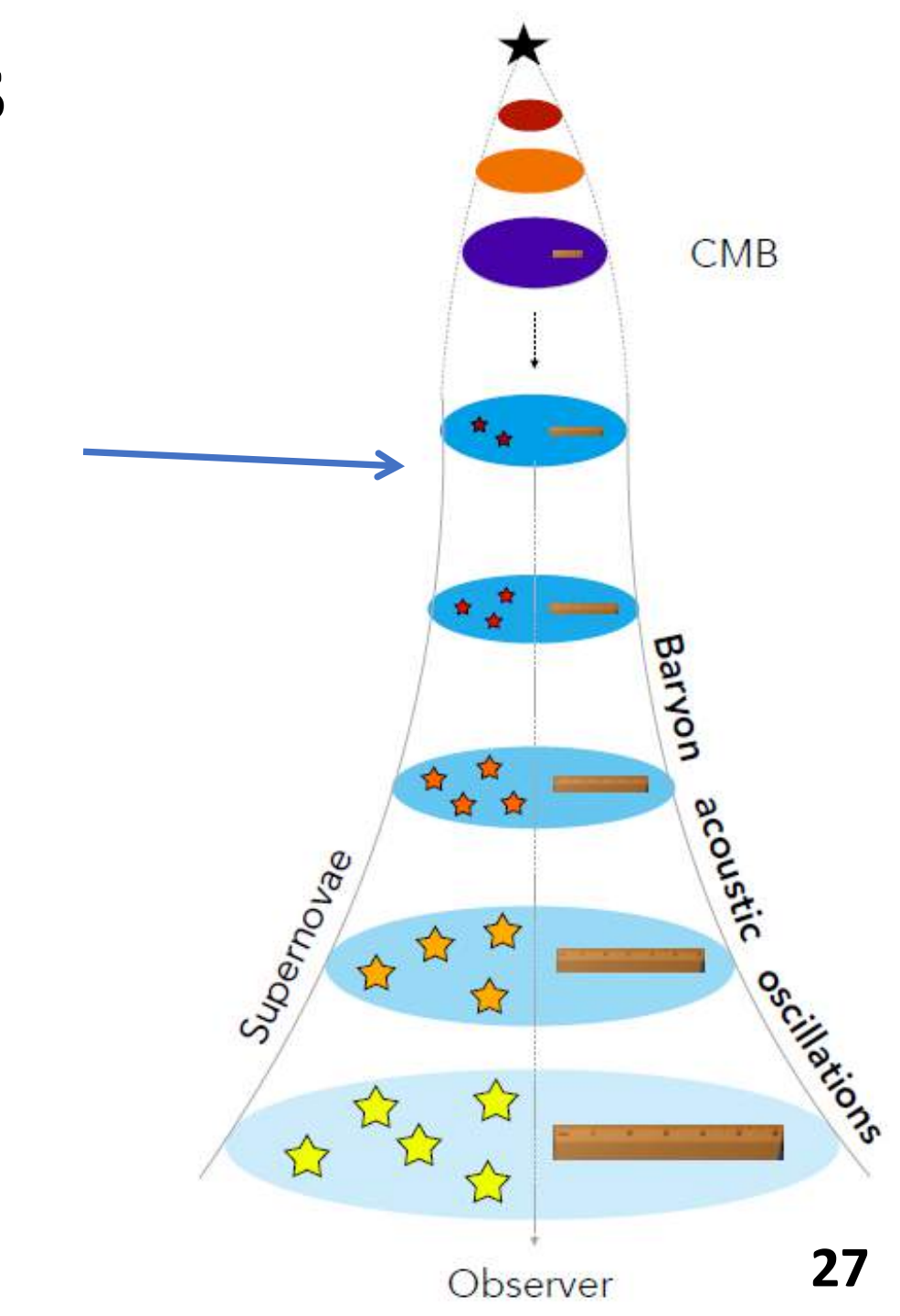


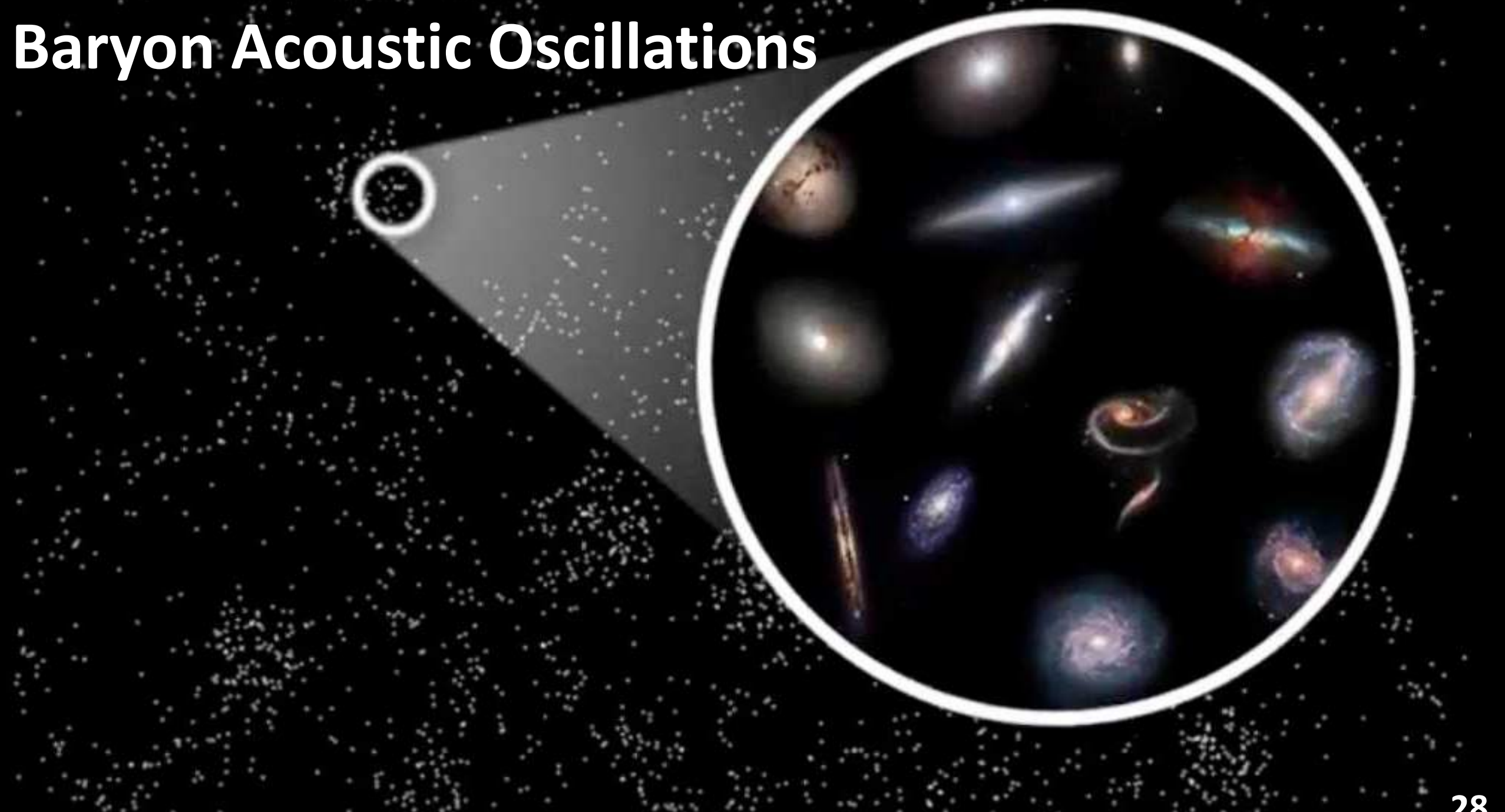


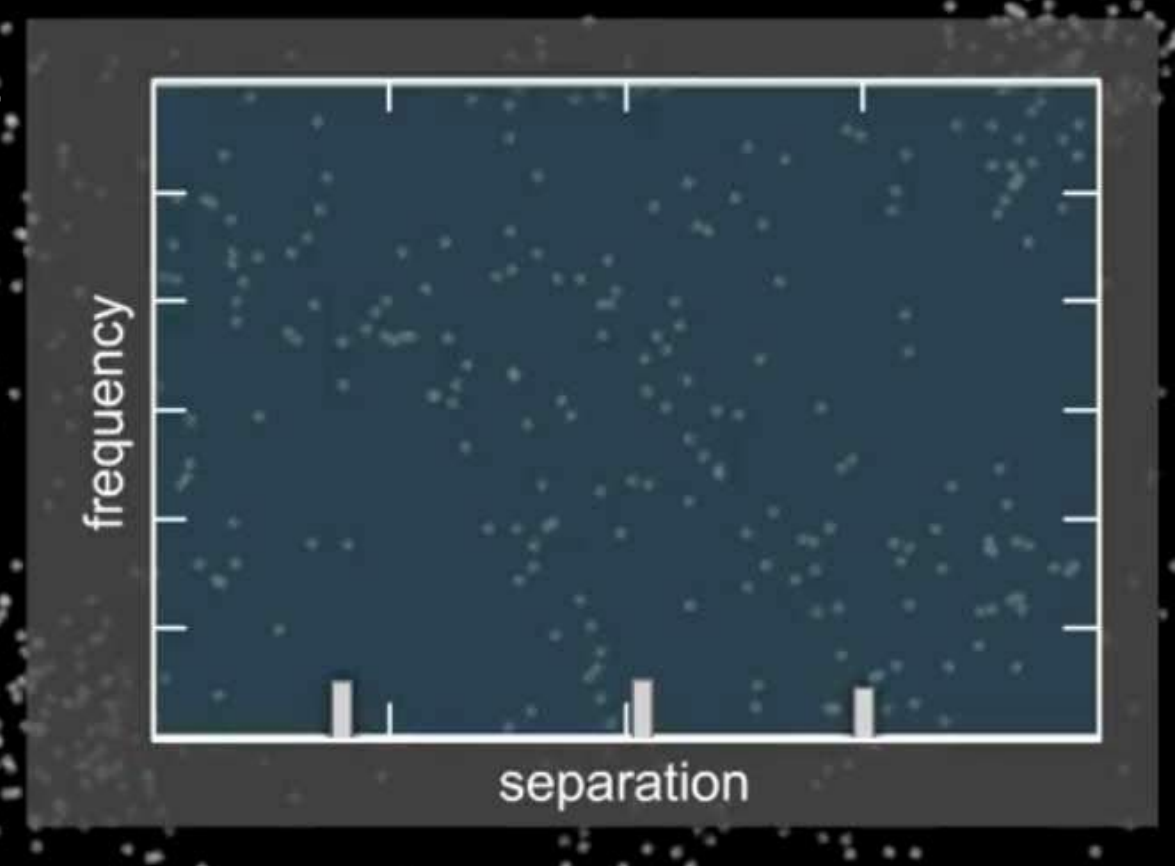


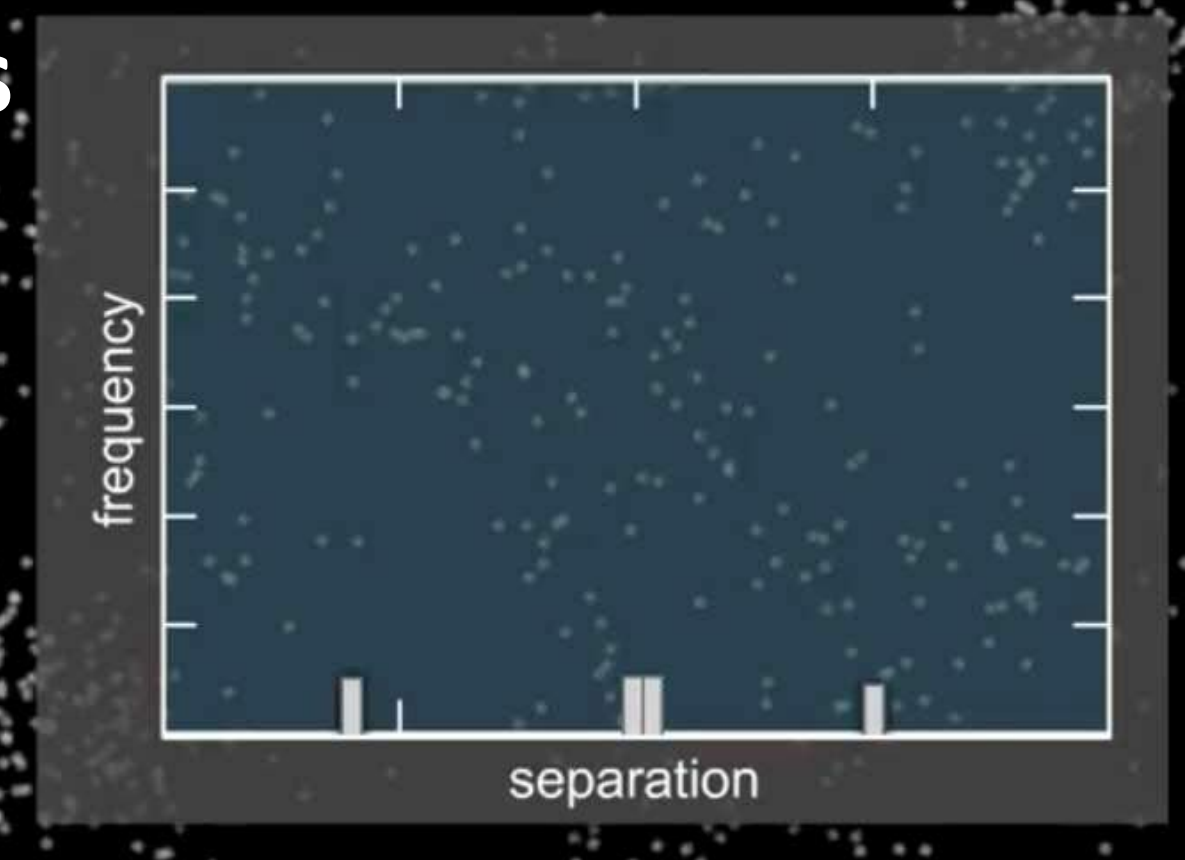


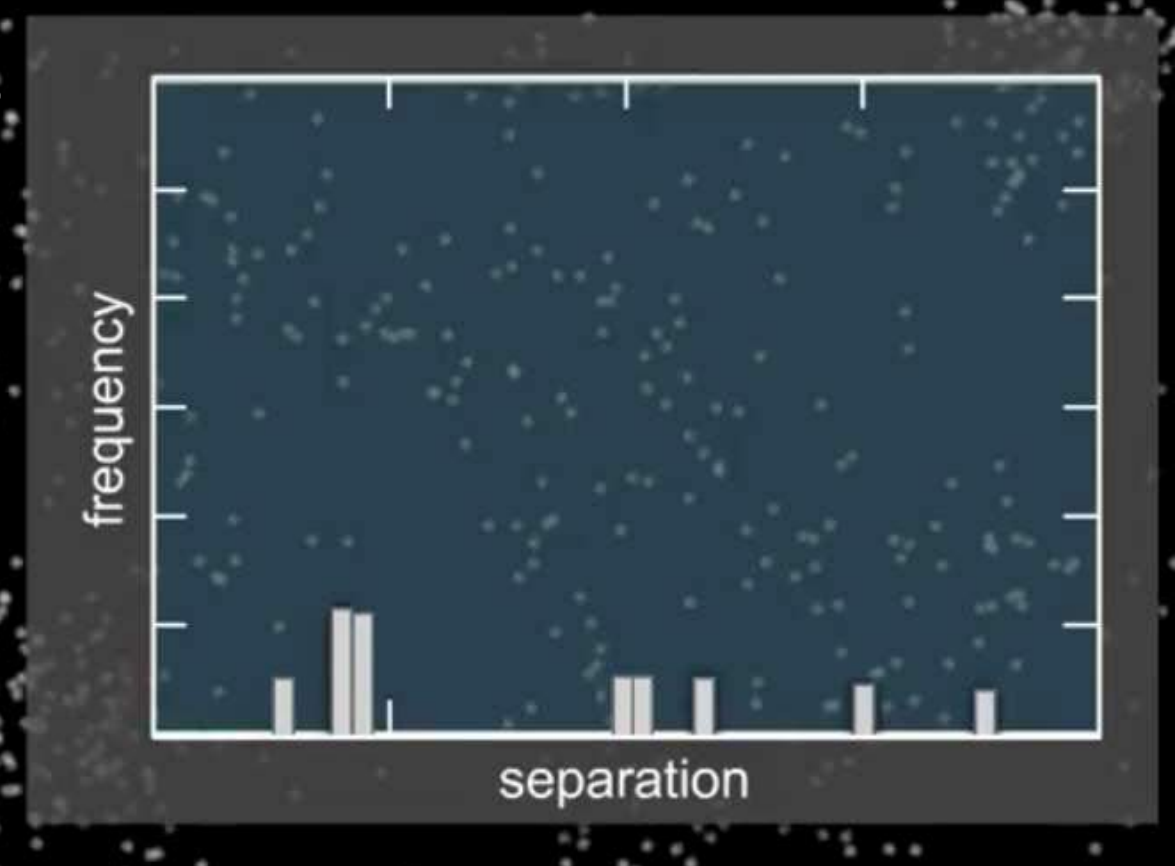
В областях повышенной плотности материи образуются галактики и скопления галактик

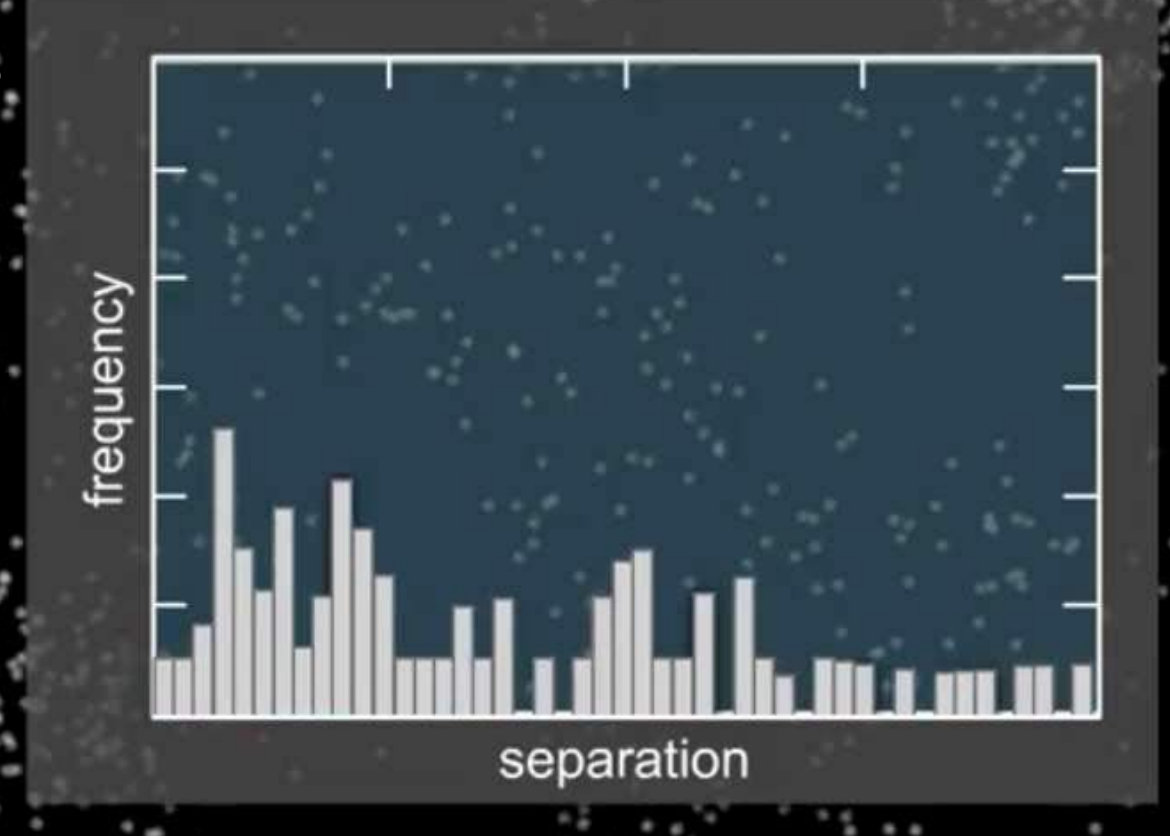


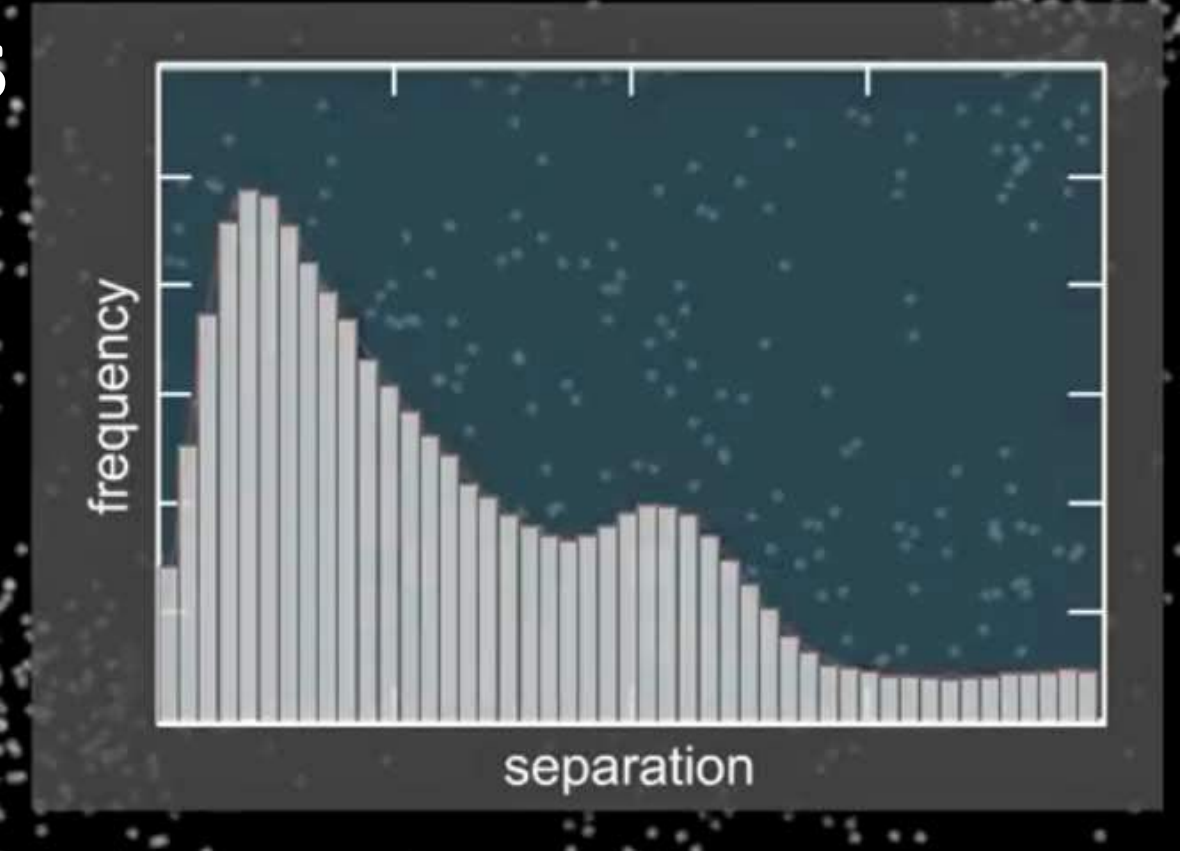




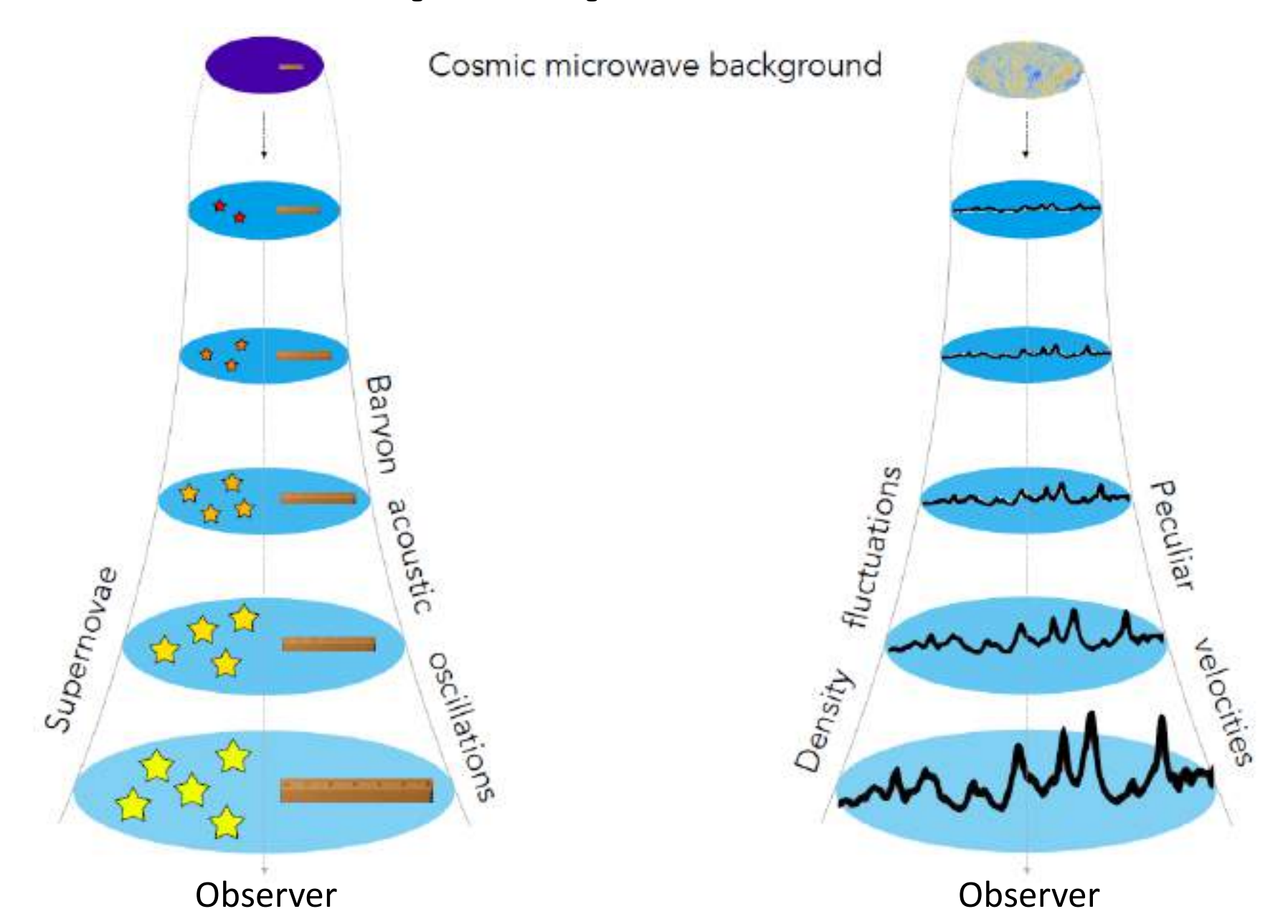




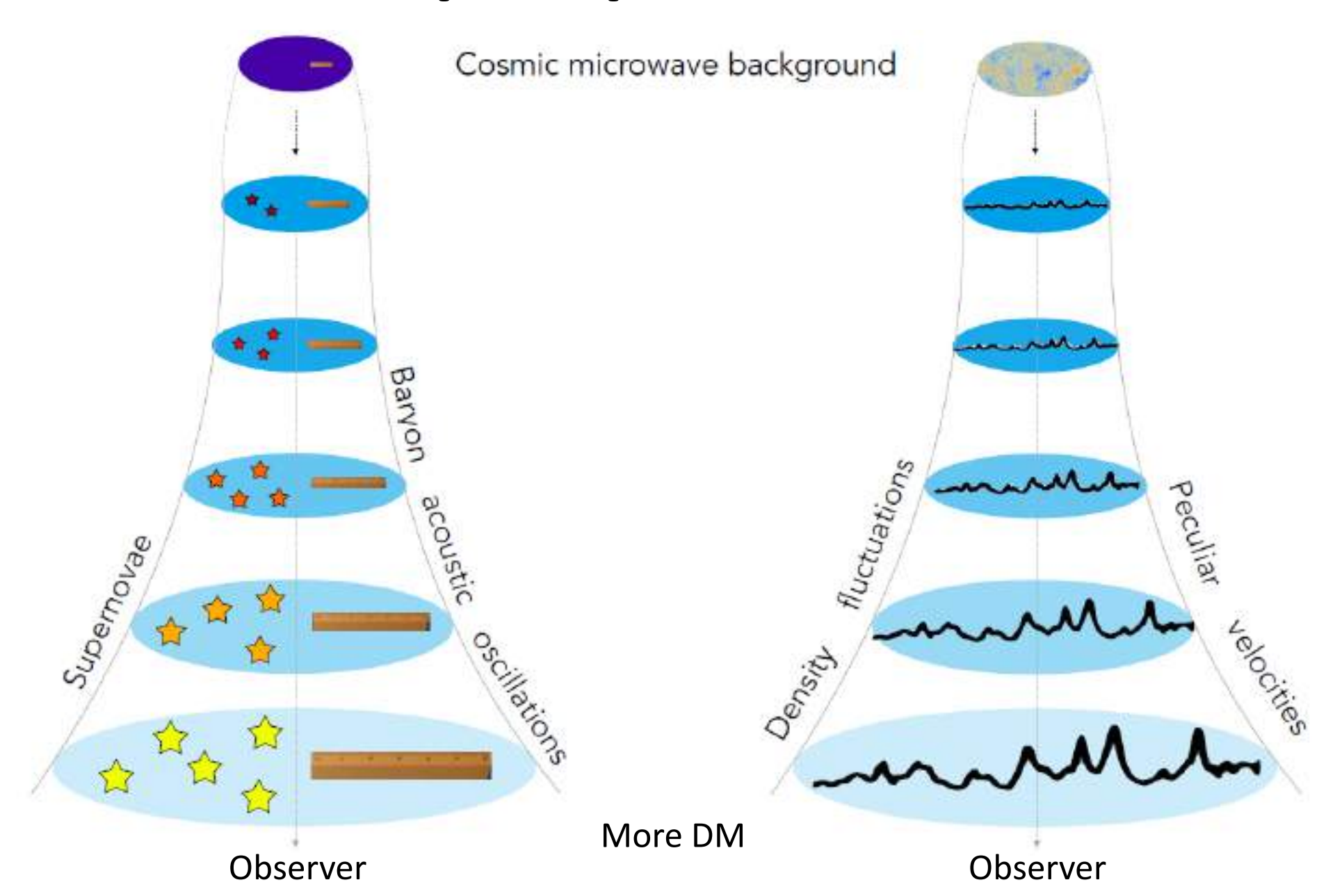




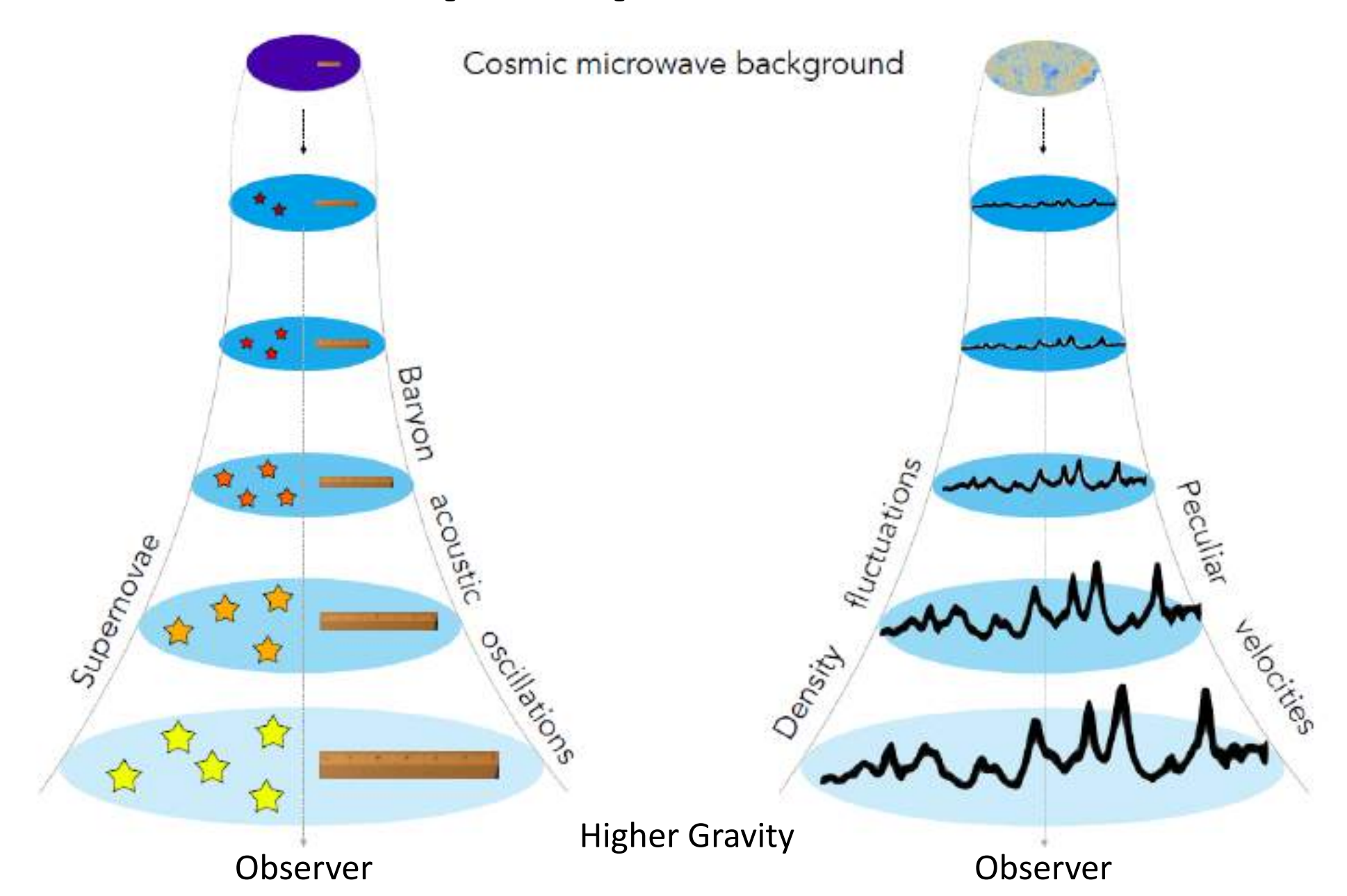
#### Проверка ACDM



#### Проверка ACDM



#### Проверка ACDM





# **DESI: Telescope**

Mayall Telescope @ Kitt Peak, Arizona USA 4m hyperboloidal mirror



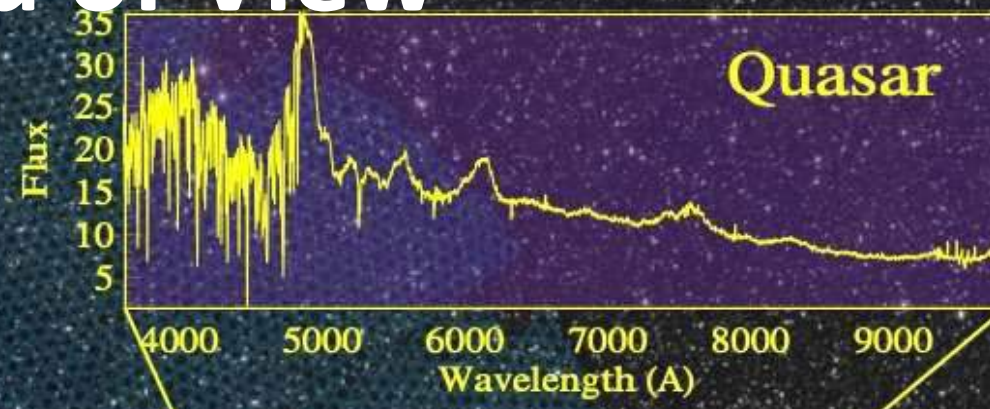








DESI: Field of View







10 million Milky Way stars

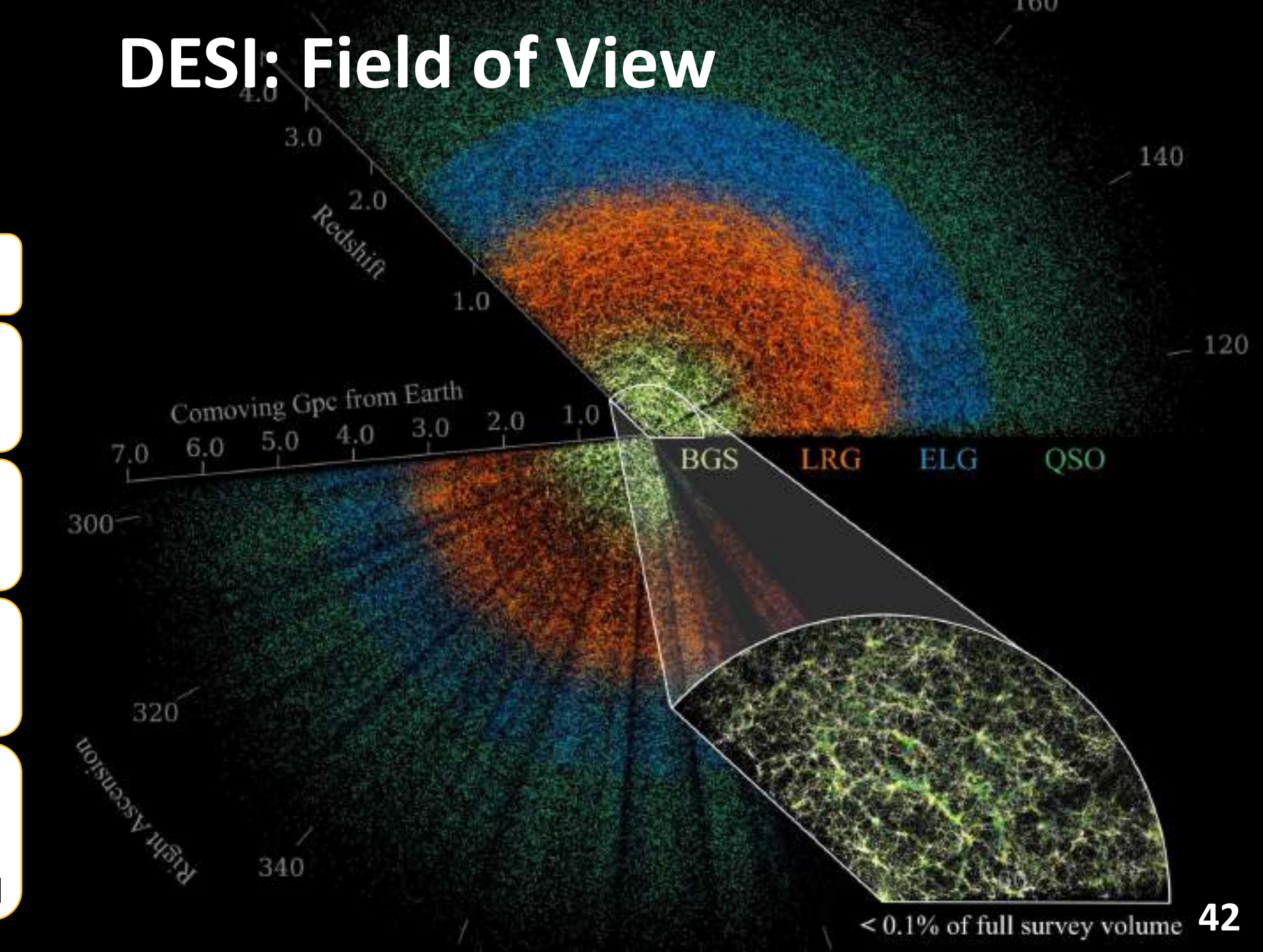
13.5 million Bright Galaxy Survey 0.0 < z < 0.4

8 million Luminous Red Galaxies 0.4 < z < 1.0

16 million Emission Line Galaxies 0.6 < z < 1.6

3 million Quasi Stellar Objects

Ly $\alpha$  forests: 2.1 < z < 4.5 QSO tracers: 0.9 < z < 2.1



# Стандартная линейка

#### Isotropic BAO

 $D_V(z)$ 

 $r_{\rm drag}$ 

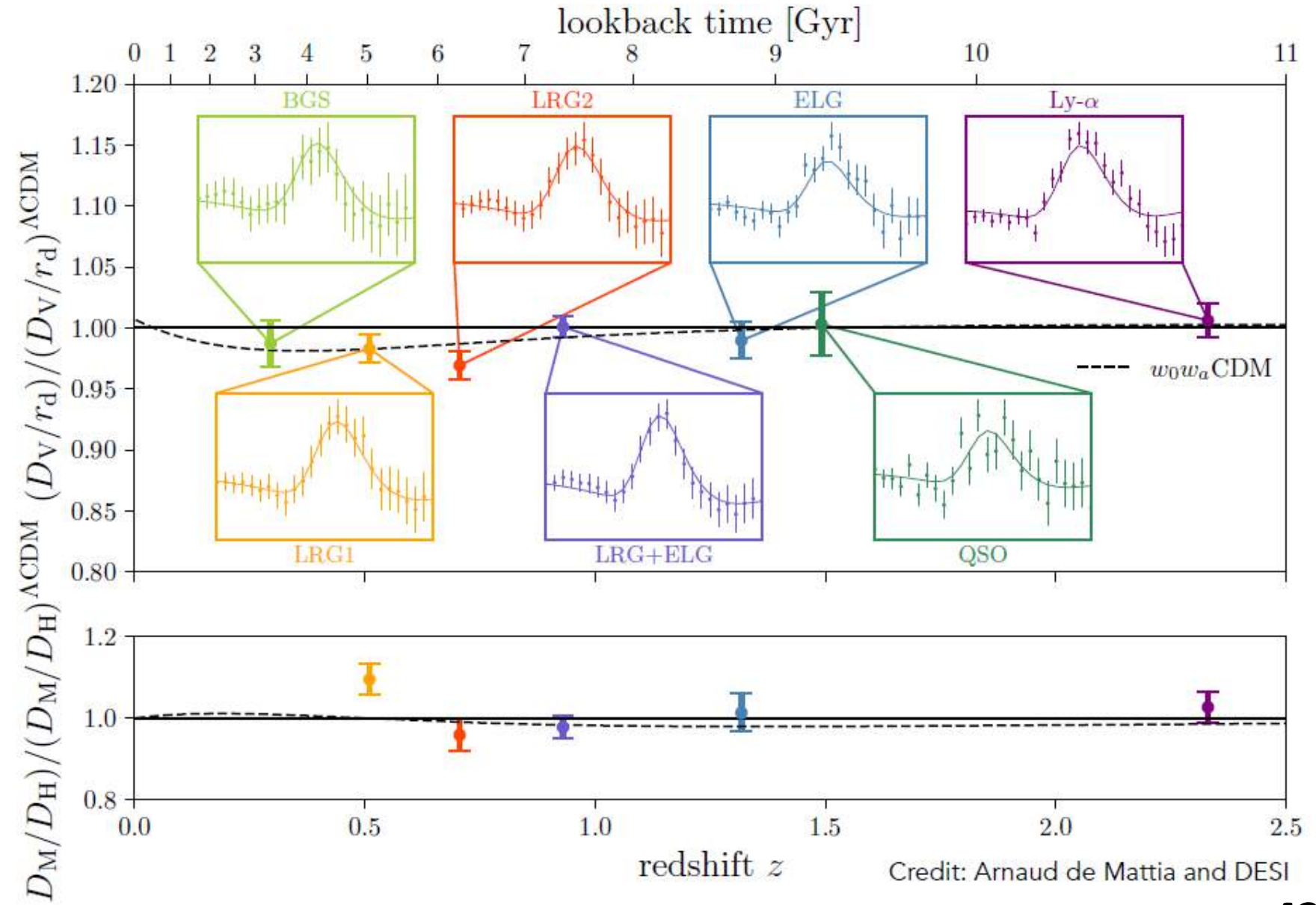


#### Anisotropic BAO

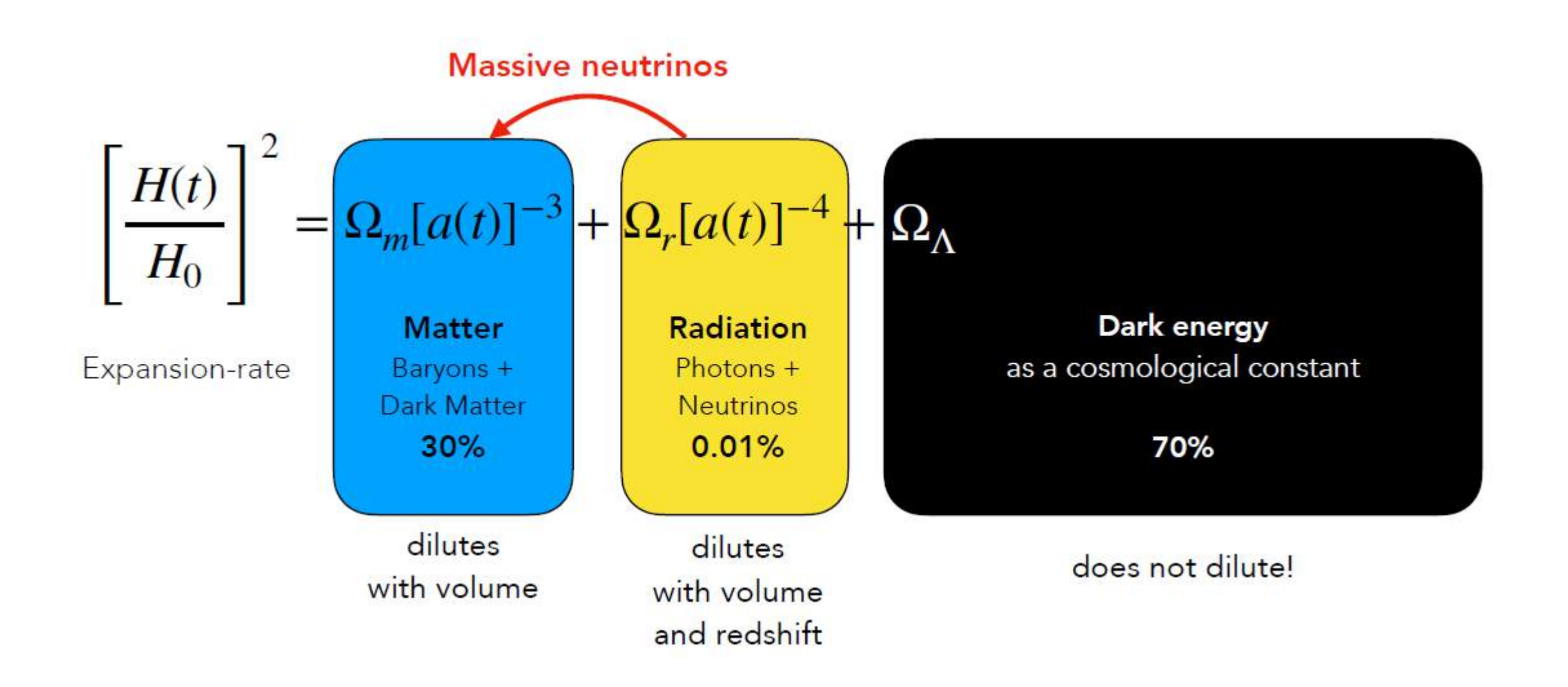
 $D_M(z)$ 

 $D_H(z)$ 

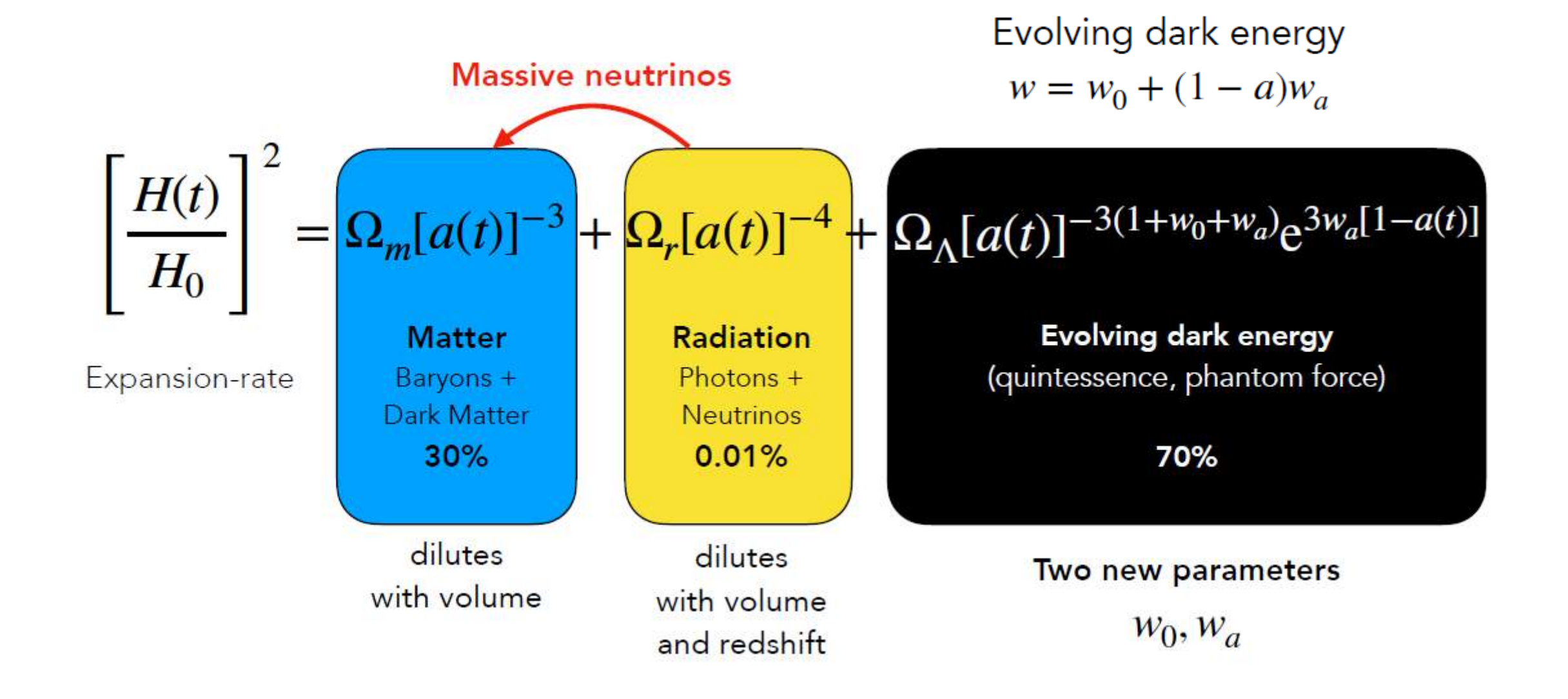




### Расширения ACDM



### Расширения $\Lambda CDM$



## Расширение ACDM: Результаты DESI

Cosmological constant  $\Lambda$ 

$$w = -1$$

#### Tension with the cosmological constant:

$$DESI + CMB \Rightarrow 3.1\sigma$$

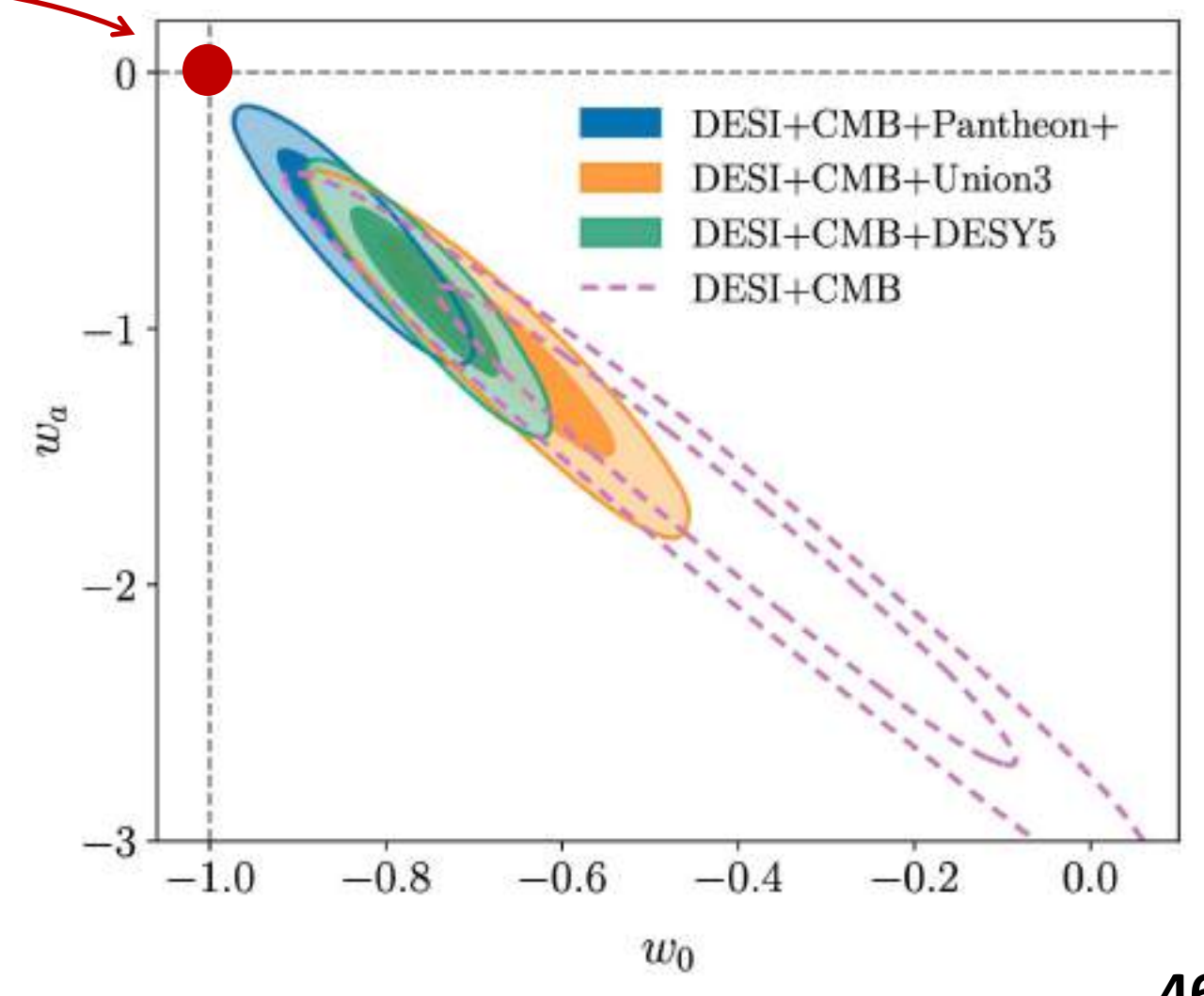
$$DESI + CMB + SN_{Pantheon^+} \Rightarrow 2.8\sigma$$

$$DESI + CMB + SN_{Union3} \Rightarrow 3.8\sigma$$

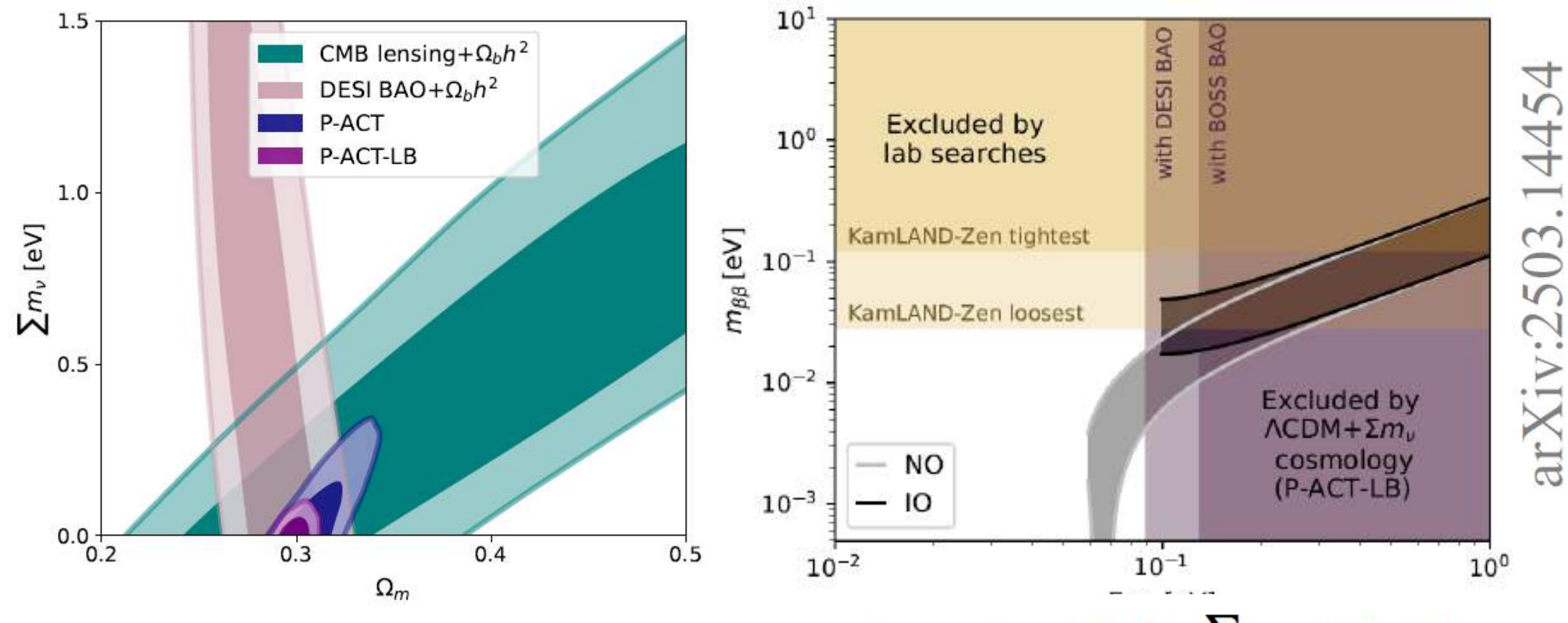
$$DESI + CMB + SN_{DESY5} \Rightarrow 4.2\sigma$$

Evolving dark energy

$$w = w_0 + (1 - a)w_a$$



## Ограничение на сумму масс нейтрино



Assuming  $\Lambda CDM$ :

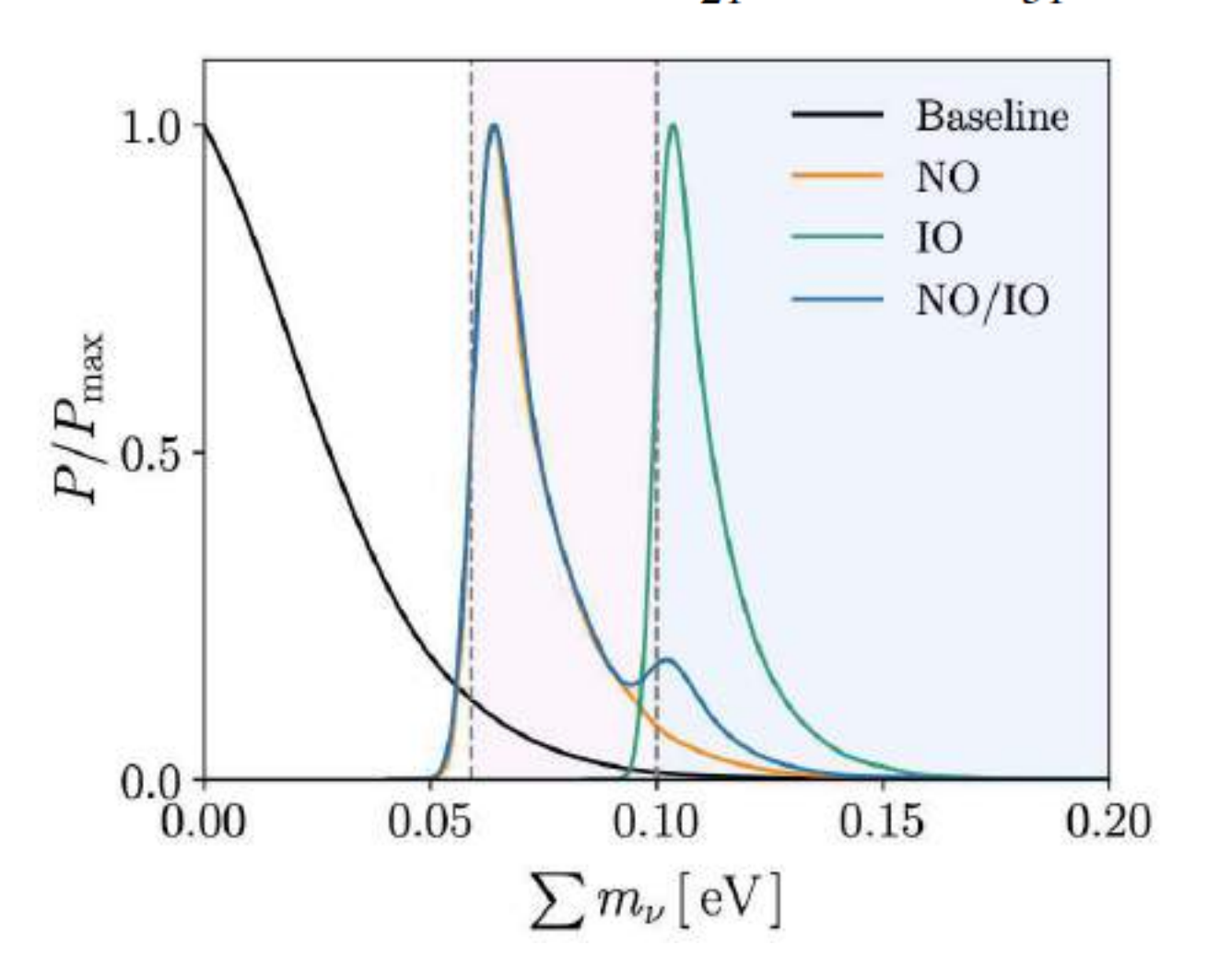
$$\sum m_{\nu} < 0.089 \text{ eV} \quad (95\%, \text{P-ACT-LB})$$

Assuming  $w_0 w_a \text{CDM}$ :  $\sum m_{\nu} < 0.163 \text{ eV}$ 

(95% CL) DESI + CMB + DES-SN5YR

## Ограничение на сумму масс нейтрино

Using priors on  $\Delta m_{21}^2$  and  $|\Delta m_{31}^2|$ 



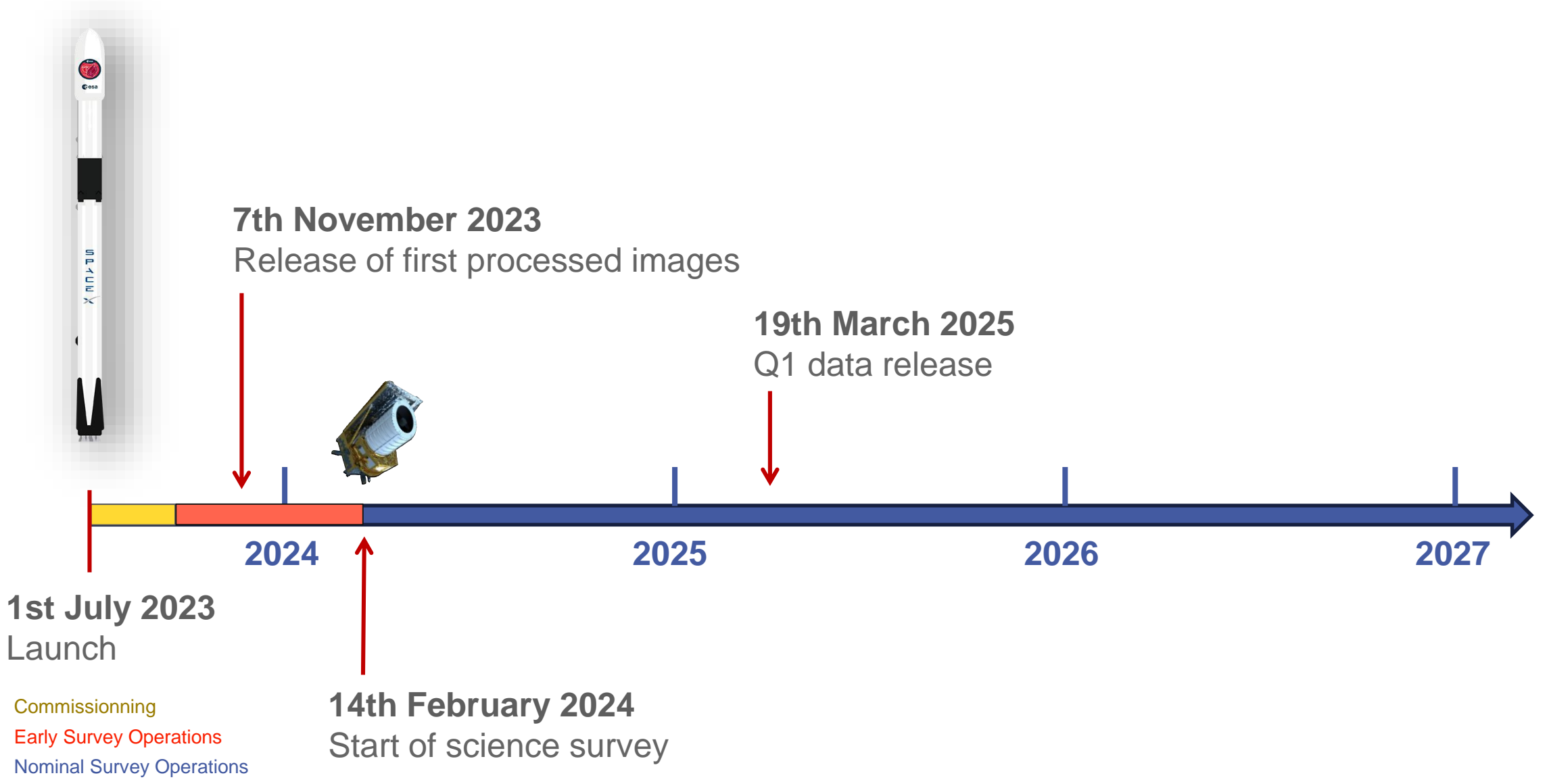
Mass of lightest neutrino

Assuming  $\Lambda \text{CDM}: m_{\nu_e} < 0.023 \text{ eV}$ 

(95% CL) DESI + CMB

### **Euclid timeline**



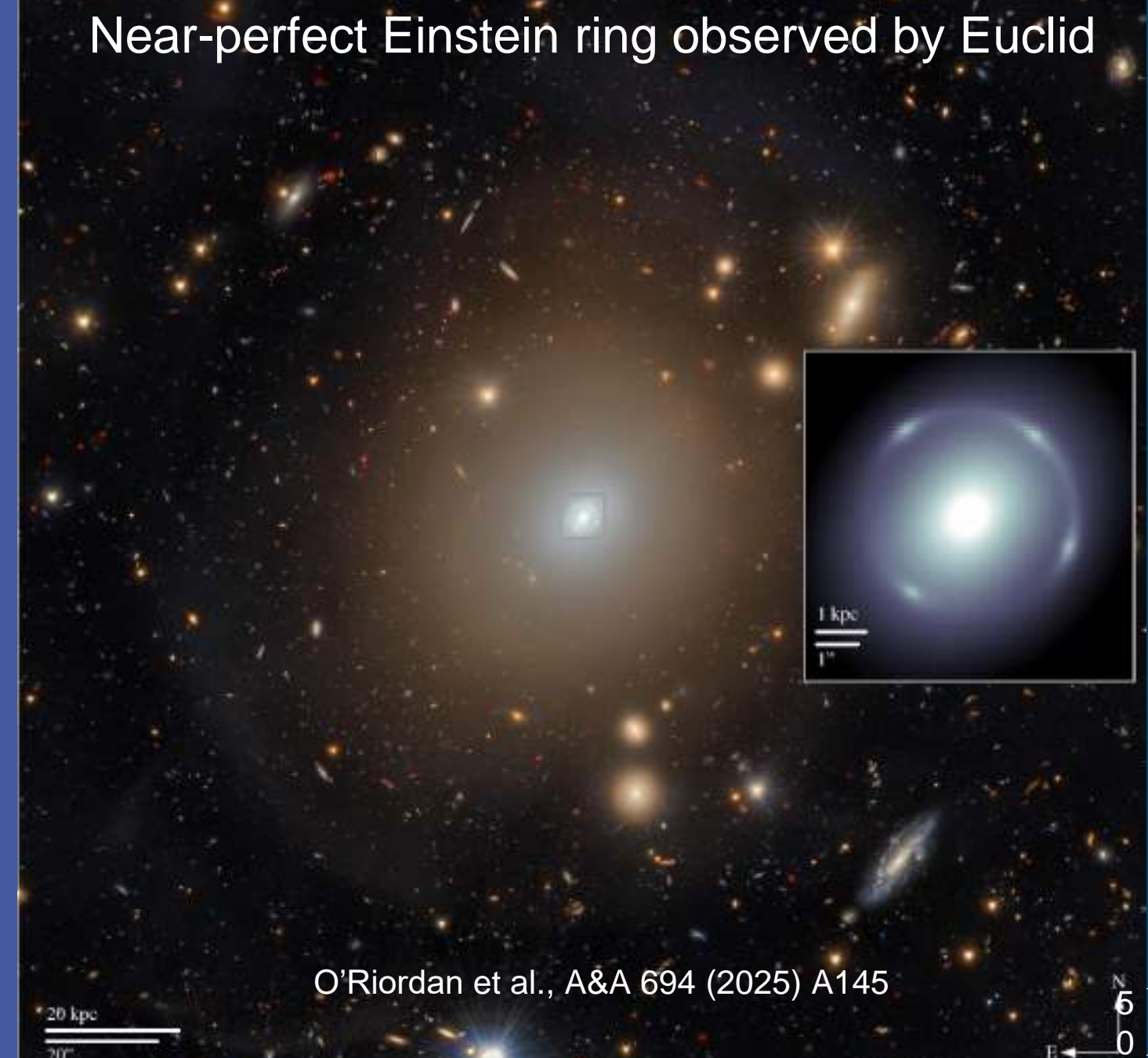


#### STRONG LENSING

Euclid's Einstein Ring around galaxy NGC 6505

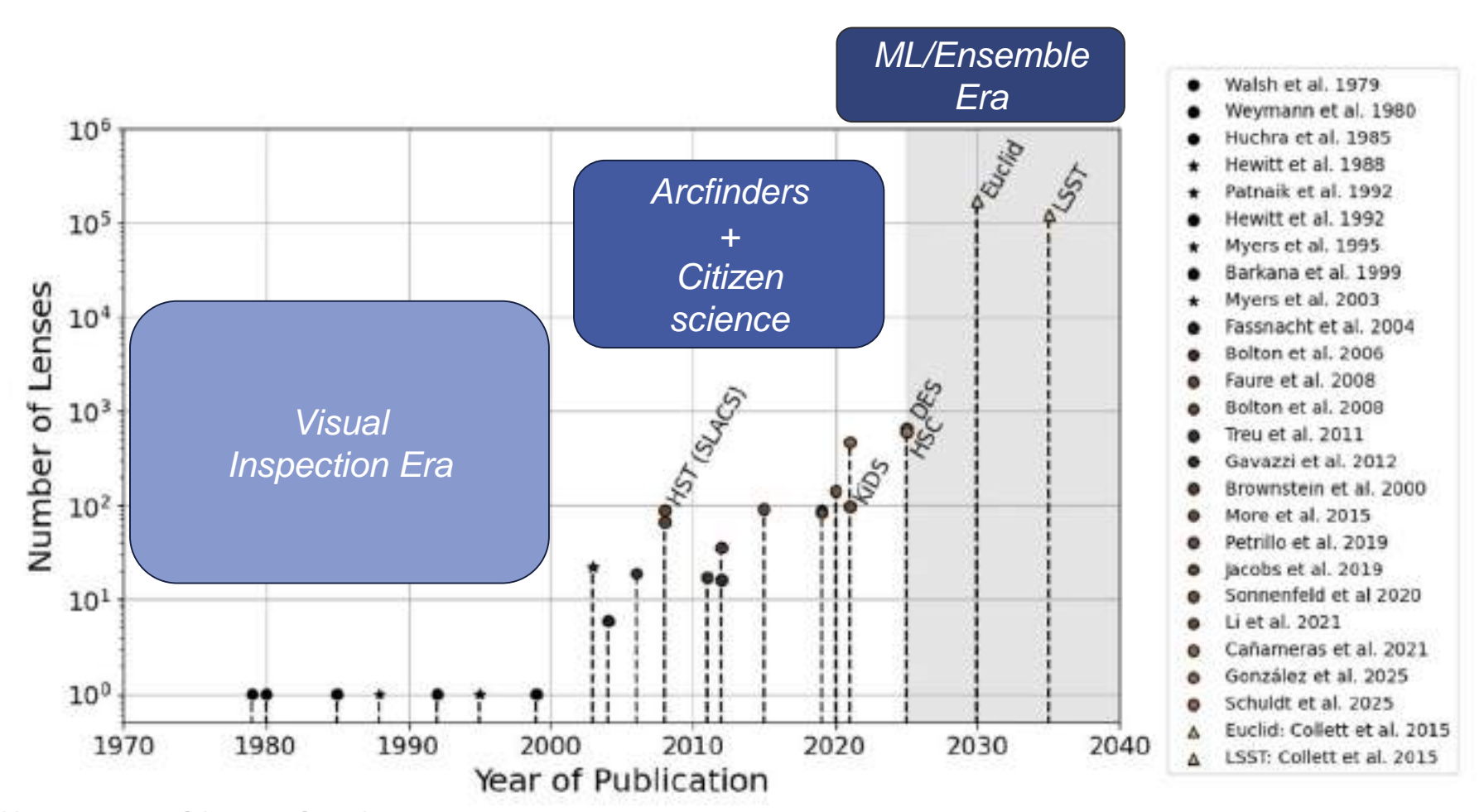


- Galaxy NGC 6506 has been known since the 1886, but this ring has never been observed!
- Lens at z = 0.042
- Source at z = 0.406



### Euclid will revolutionise strong lensing studies

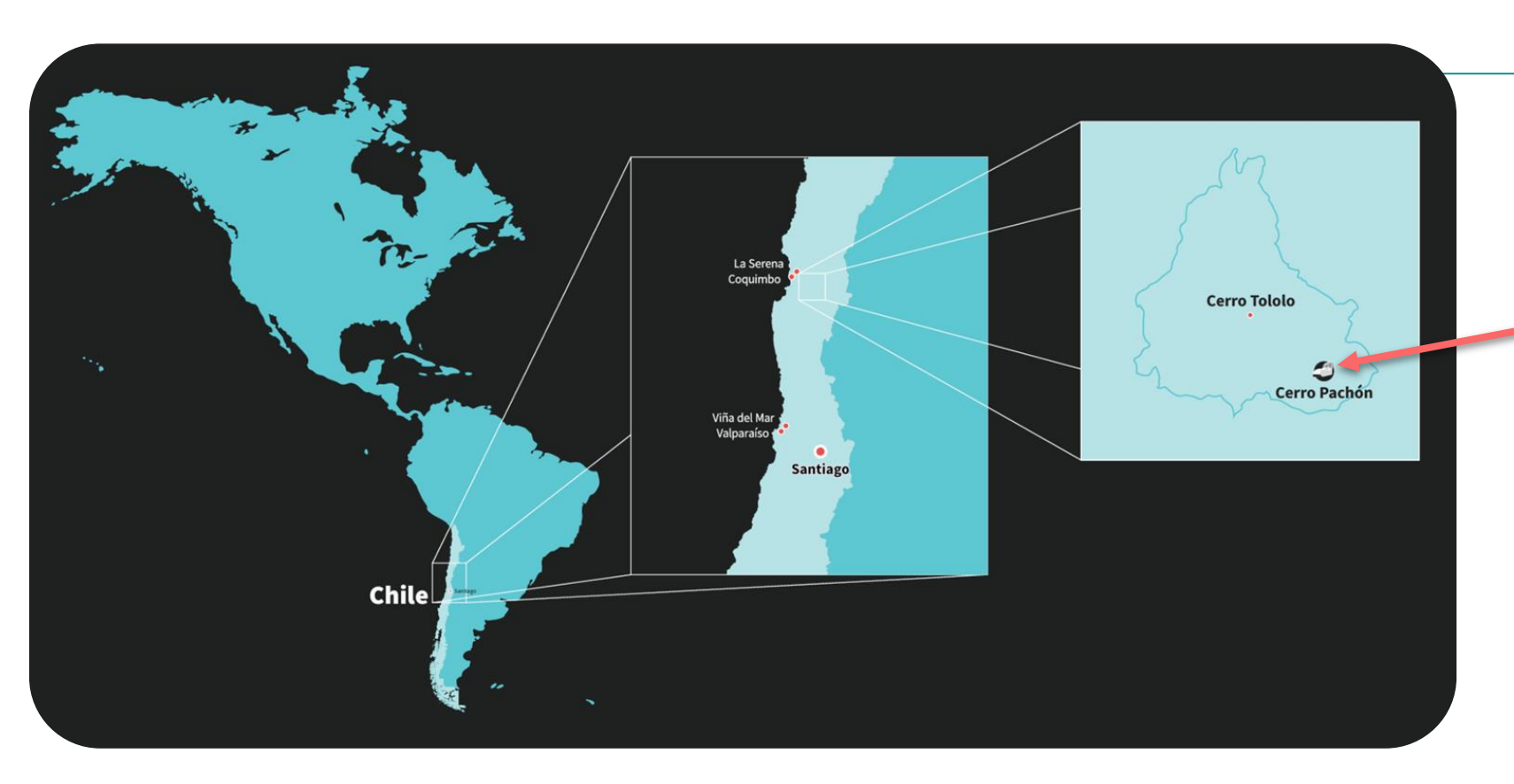




The challenges of lens finding:

- 1. Strong lenses are rare and difficult to find
- 2. Lens finders perform well, but aren't perfect: 'False positive problem'

### LSST (Vera Rubin Observatory)





Located on Cerro Pachón, in the Coquimbo region of Chile

Jointly funded by the **U.S. National Science** Foundation and the U.S. Department of Energy, Office of Science













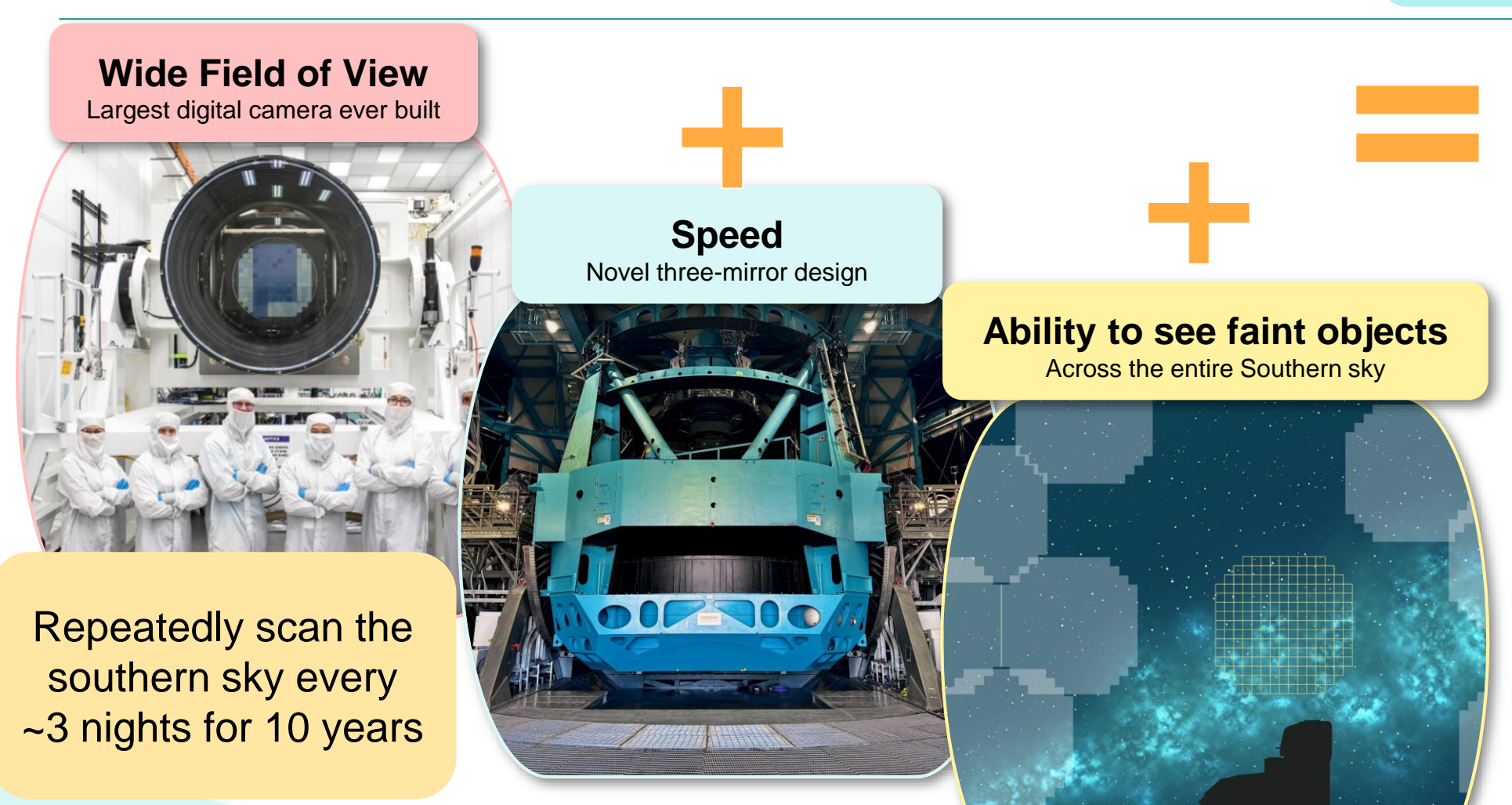






### Mission: Capture the Cosmos

#### The greatest astronomical movie of all time



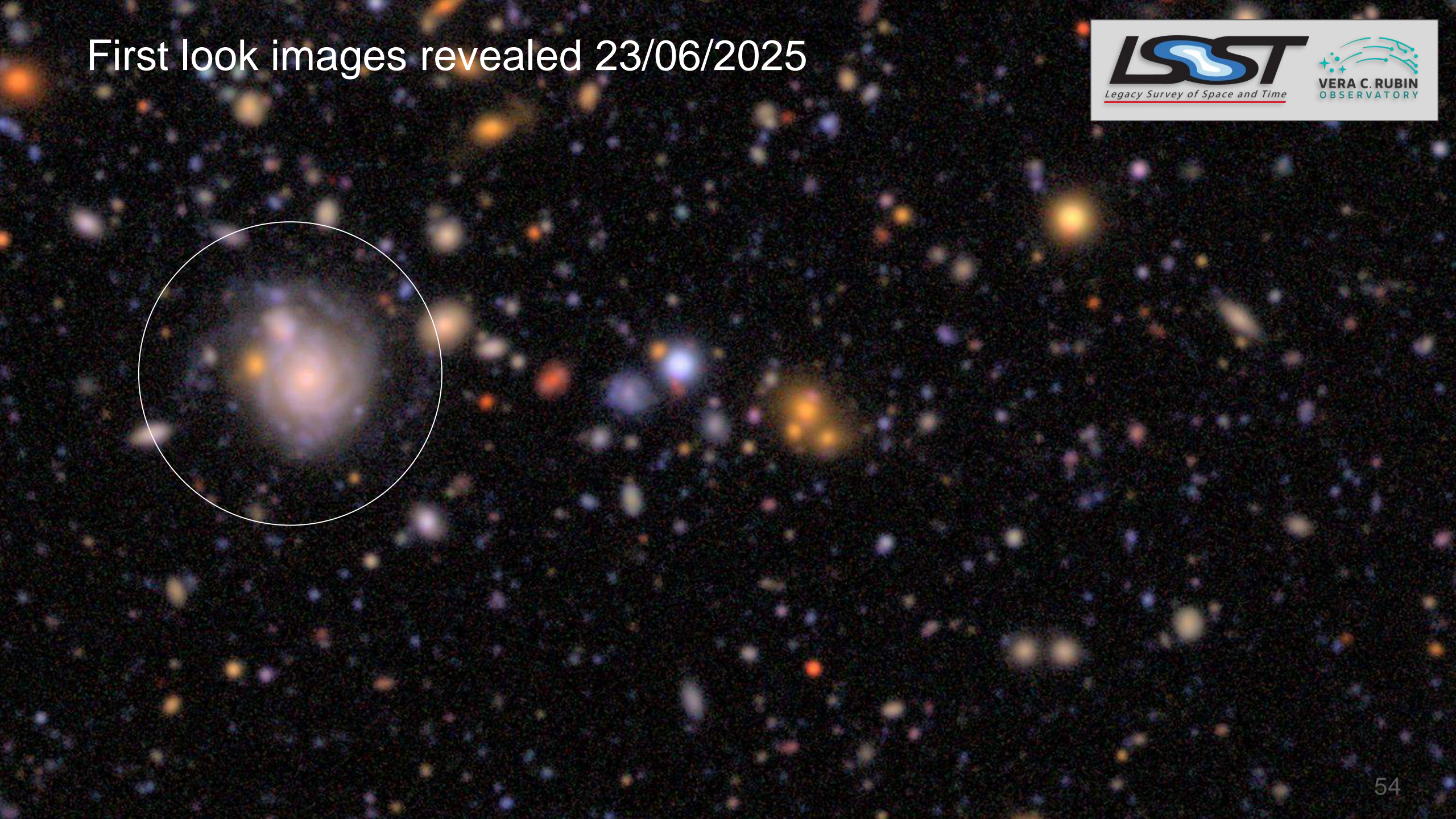


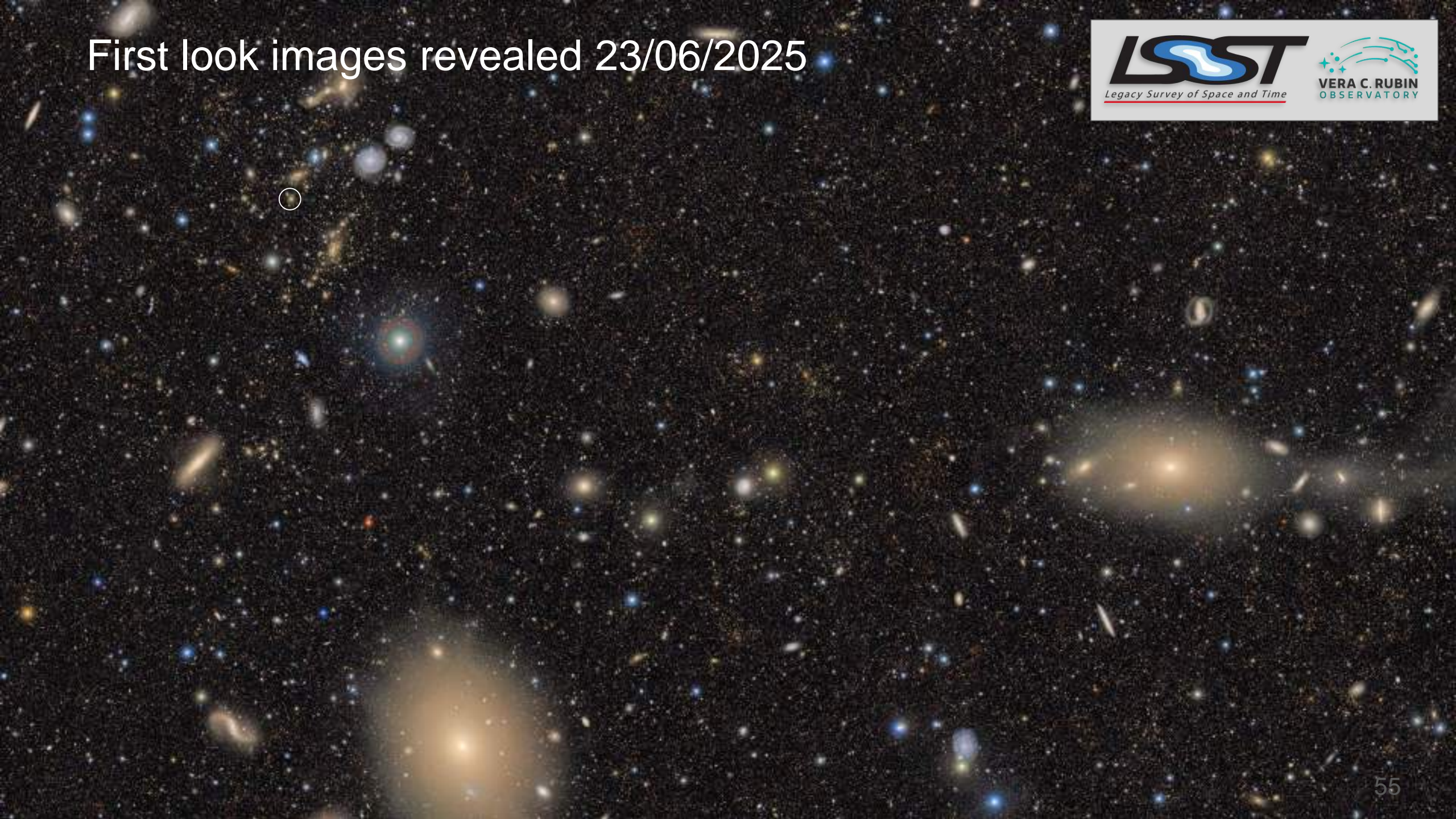






53





### Vera Rubin LSST Survey probes for Dark Energy

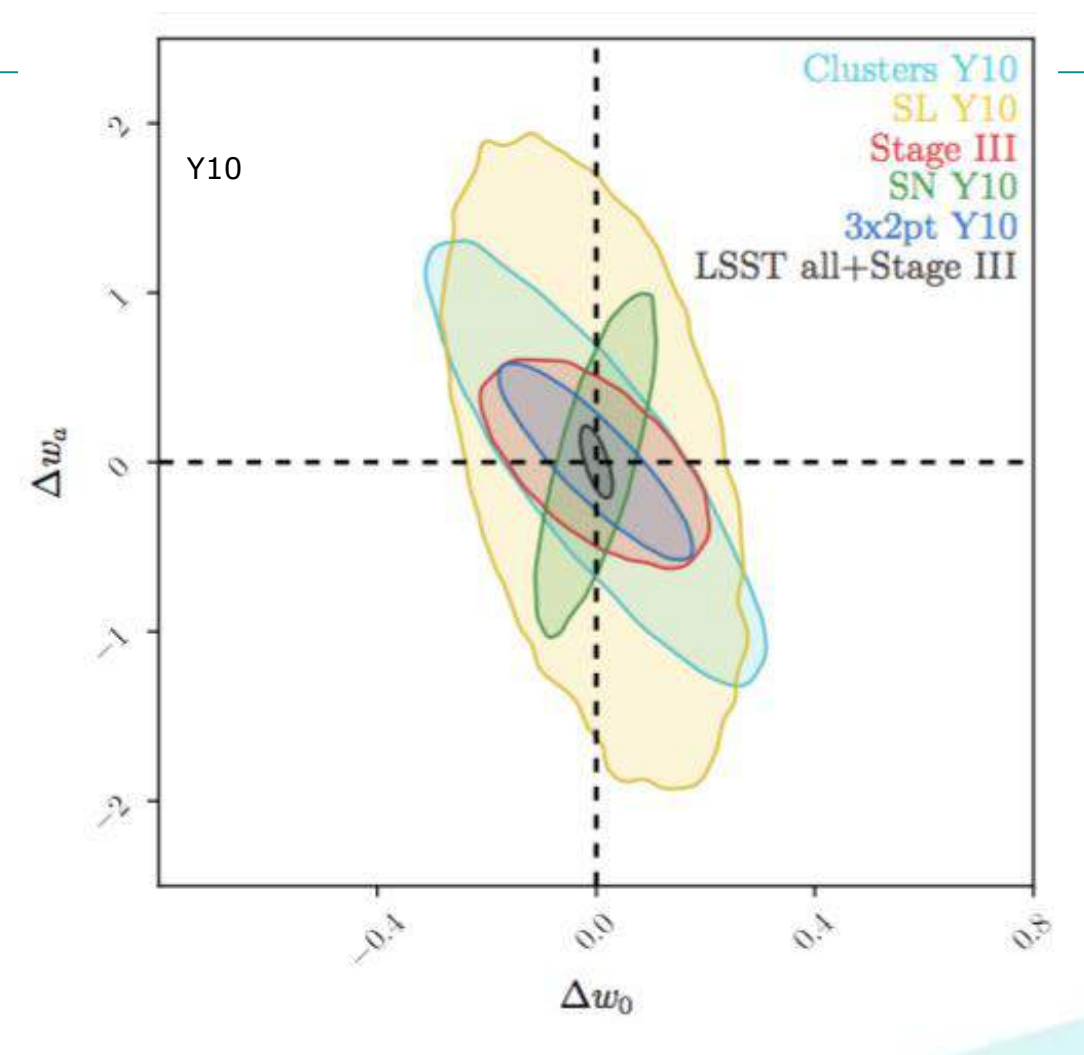


**SRD** Combined **Probe Forecast** 

За 10 лет наблюдений LSST позволит проверить эволюционные модели темной энергии с на порядок лучшей точностью!

From Cosmology Fit		
$\Delta w = w - w_{\rm true}$	$\Delta\Omega_M = \Omega_M - \Omega_M^{\rm true}$	$\chi^2/\nu$
$-0.032 \pm 0.046$	$-0.007 \pm 0.013$	11/8
$-0.002 \pm 0.026$	$0.001 \pm 0.009$	12/8

arXiv:2111.06858v1



$$w(a) = w_0 + (1 - a)w_a$$





## Будущие эксперименты

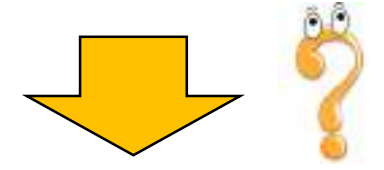
The Canadian Hydrogen Intensity Mapping Experiment (CHIME) will measure the size and shape of BAOs as a function of redshift. It will do this by mapping the distribution of matter through the 21 cm radio emission of intergalactic hydrogen. Such Hydrogen Intensity (HI) mapping is faster than using galaxy surveys which rely on observing individual galaxies and are complicated by the physics of galaxy evolution.



### Заключение

ЛСDM, как и SM в ФЭЧ, с высокой точностью проверена огромным количеством независимых измерений, однако:

- есть некоторые нестыковки (напряженность Хаббла, параметр S<sub>8</sub>)
- есть указания на возможную эволюцию темной энергии (то есть ТЭ  $\neq \Lambda$ )



Нужна модификация ACDM? Мы не до конца понимаем физику SN Ia?

Нет «хорошей» модификации ΛCDM, которая бы исправляла обе напряженности. Обзоры нового поколения (LSST, full DESI) в течение 5-10 лет позволят существенно (на порядки) увеличить статистику => повысить точность определение параметров ΛCDM в поздней Вселенной и их динамику.